

Moderne Experimentalphysik II

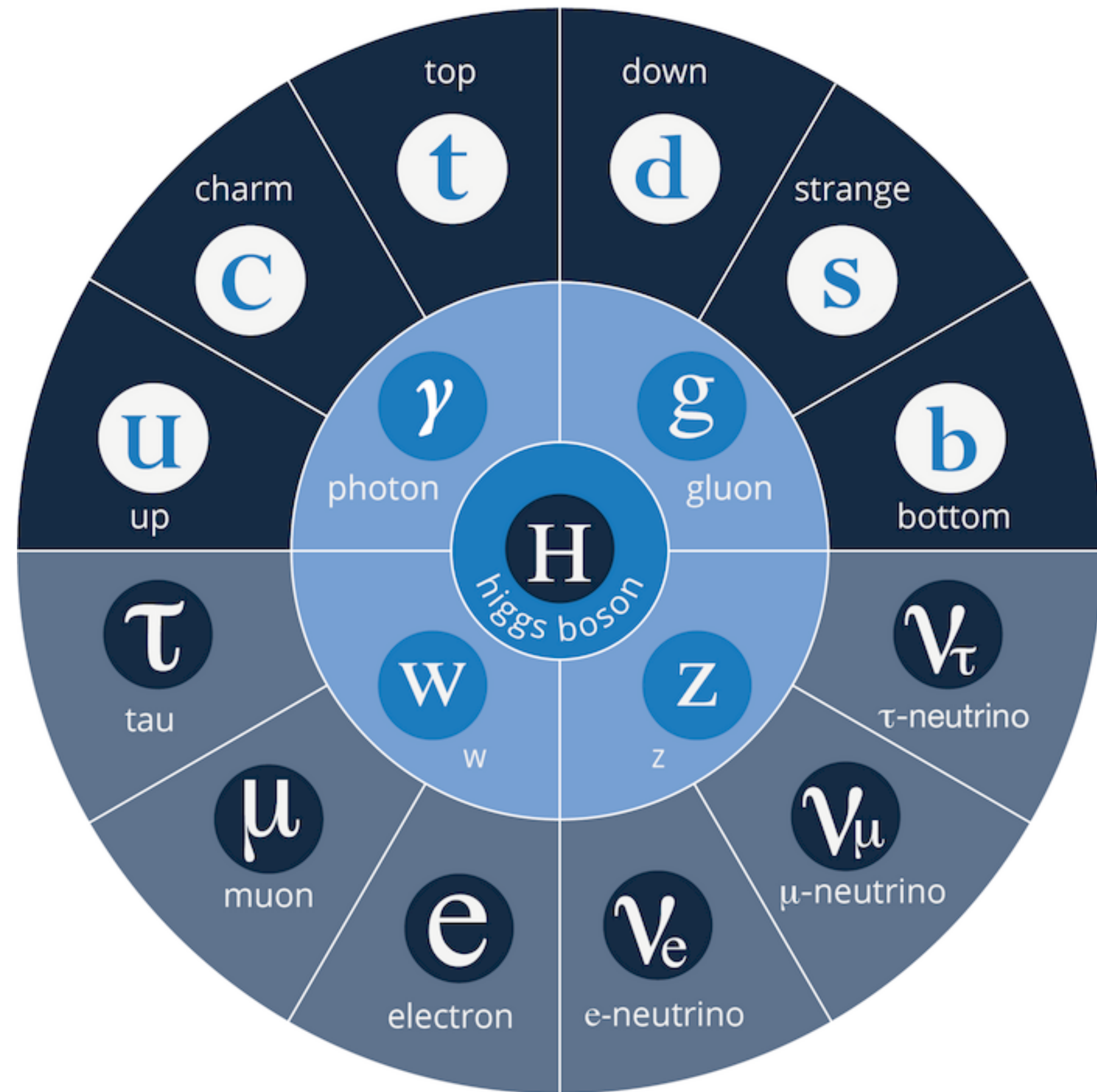
Teilchenphysik - Vorlesung 15

Prof. Dr. Markus KLUTE (markus.klute@kit.edu)
Institut für Experimentelle Teilchenphysik (ETP)



■ 7. Zusammenfassung und Ausblick

- 7.1 Zusammenfassung
- 7.2 Offene Fragen und Grenzen des Standardmodels
- 7.3 Weitere Vorlesungen
- 7.4 Bachelor im ETP und darüber hinaus



Zusammenfassung

				Thema Vorlesung
KW 50	Dienstag	2023-12-12		
	Donnerstag	2023-12-14	VL1	Einführung
KW 51	Dienstag	2023-12-21	VL2	Experimentelle Methoden
	Donnerstag	2023-12-23	VL3	Experimentelle Methoden
KW 52	Dienstag	2023-12-26	Weihnachtsferien	
	Donnerstag	2023-12-28		
KW 1	Dienstag	2024-01-02	Weihnachtsferien	
	Donnerstag	2024-01-04		
KW 2	Dienstag	2024-01-09	VL4	Experimentelle Methoden
	Donnerstag	2024-01-11	VL5	Experimentelle Methoden
KW 3	Dienstag	2024-01-16	VL6	Struktur der Materie
	Donnerstag	2024-01-18	VL7	Struktur der Materie
KW 4	Dienstag	2024-01-23	VL8	Symmetrien und Erhaltungssätze
	Donnerstag	2024-01-25	VL9	Symmetrien und Erhaltungssätze
KW 5	Dienstag	2024-01-30	VL10	Wechselwirkungen
	Donnerstag	2024-02-01	VL11	Wechselwirkungen
KW 6	Dienstag	2024-02-06	VL12	Wechselwirkungen
	Donnerstag	2024-02-08	VL13	Wechselwirkungen
KW 7	Dienstag	2024-02-13	VL14	Neutrino- und Astroteilchenphysik
	Donnerstag	2024-02-15	VL15	Zusammenfassung und Ausblick

Einheiten

Größe	Teilchenphysik	SI - Einheit
Länge	1 fm (1 Fermi = 1 femto-m)	10^{-15} m
Energie	$1 \text{ GeV} = 10^9 \text{ eV}$	$1,602 \cdot 10^{-10} \text{ J}$
Masse = E / c^2	$1 \text{ GeV} / c^2$	$1,78 \cdot 10^{-27} \text{ kg}$
$\hbar = h / 2\pi$	$6,588 \cdot 10^{-25} \text{ GeV s}$	$1,055 \cdot 10^{-34} \text{ J s}$
c	$2,998 \cdot 10^{23} \text{ fm s}^{-1}$	$2,998 \cdot 10^8 \text{ m s}^{-1}$
$\hbar \cdot c$	0,1975 GeV fm	$3,162 \cdot 10^{-26} \text{ J m}$

\hbar : reduziertes Planck'sches Wirkungsquantum, seit 2019 numerisch fixierte Größe

natürliche Einheiten $\hbar = c = k_B = 1$	
Länge in inverser Energie*	$0,1975 \text{ fm} = 1 \text{ GeV}^{-1}$
Zeit in inverser Energie**	$6,582 \cdot 10^{-25} \text{ s} = 1 \text{ GeV}^{-1}$
Temperatur in Energie***	$11,604 \cdot 10^{12} \text{ K} = 1 \text{ GeV}$

- nun $\hbar c = 1$ (dimensionslos) und $k_B = 1$ (dimensionslos)

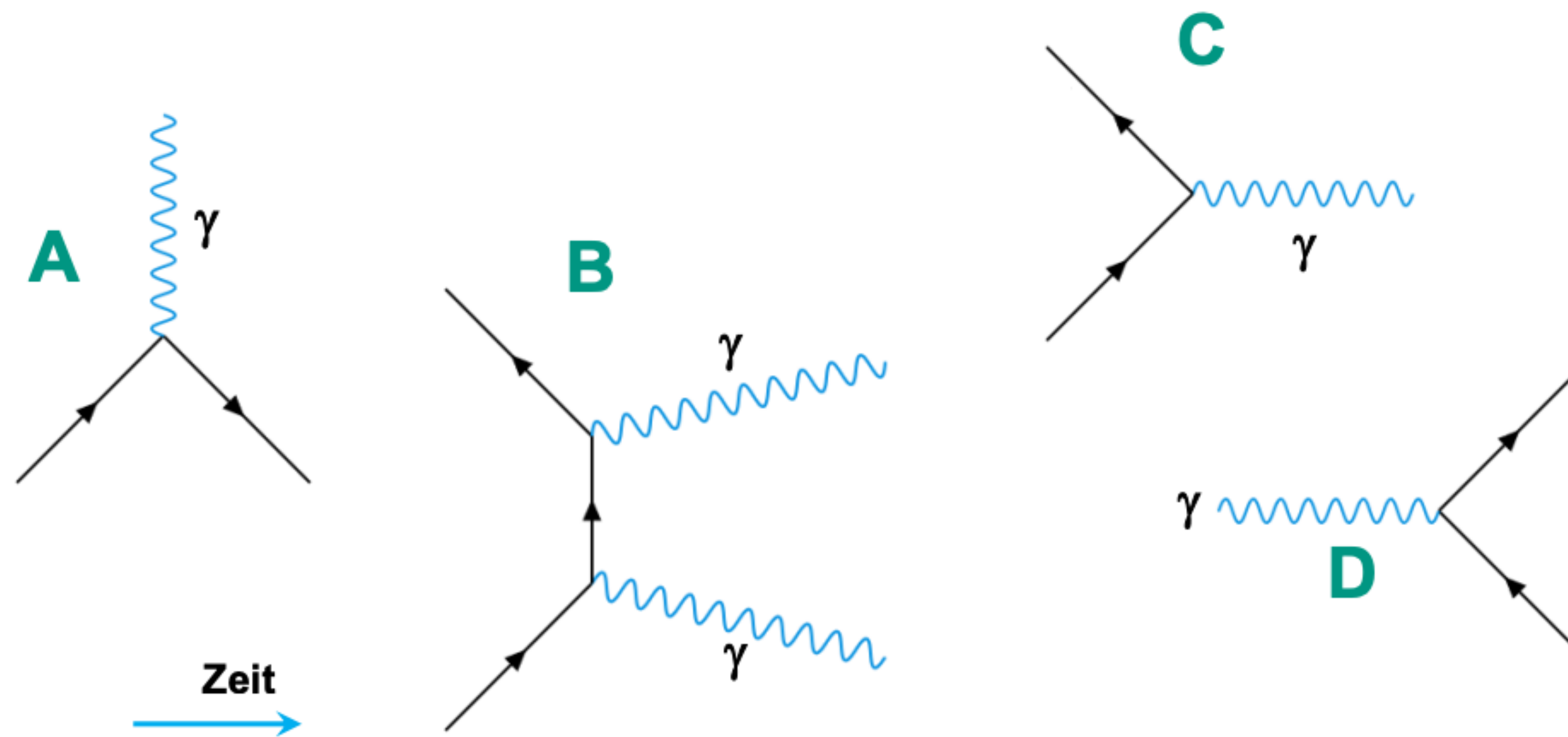
Angabe von **Längen L** und **Zeiten t** in inversen Energieeinheiten (**GeV⁻¹**)
 Angabe von **Temperatur T** in Energieeinheiten (**GeV**)

* $\hbar c = 0,1975 \text{ GeV fm}$ ** $\hbar = 6,588 \cdot 10^{-25} \text{ GeV s}$ *** $k_B = 8,617 \cdot 10^{-5} \text{ eV/K}$

Feynman-Diagramme

■ Streuprozess

■ **Frage: Welche Feynman-Diagramme stehen für die Vernichtung eines Elektron-Positron-Paares?**



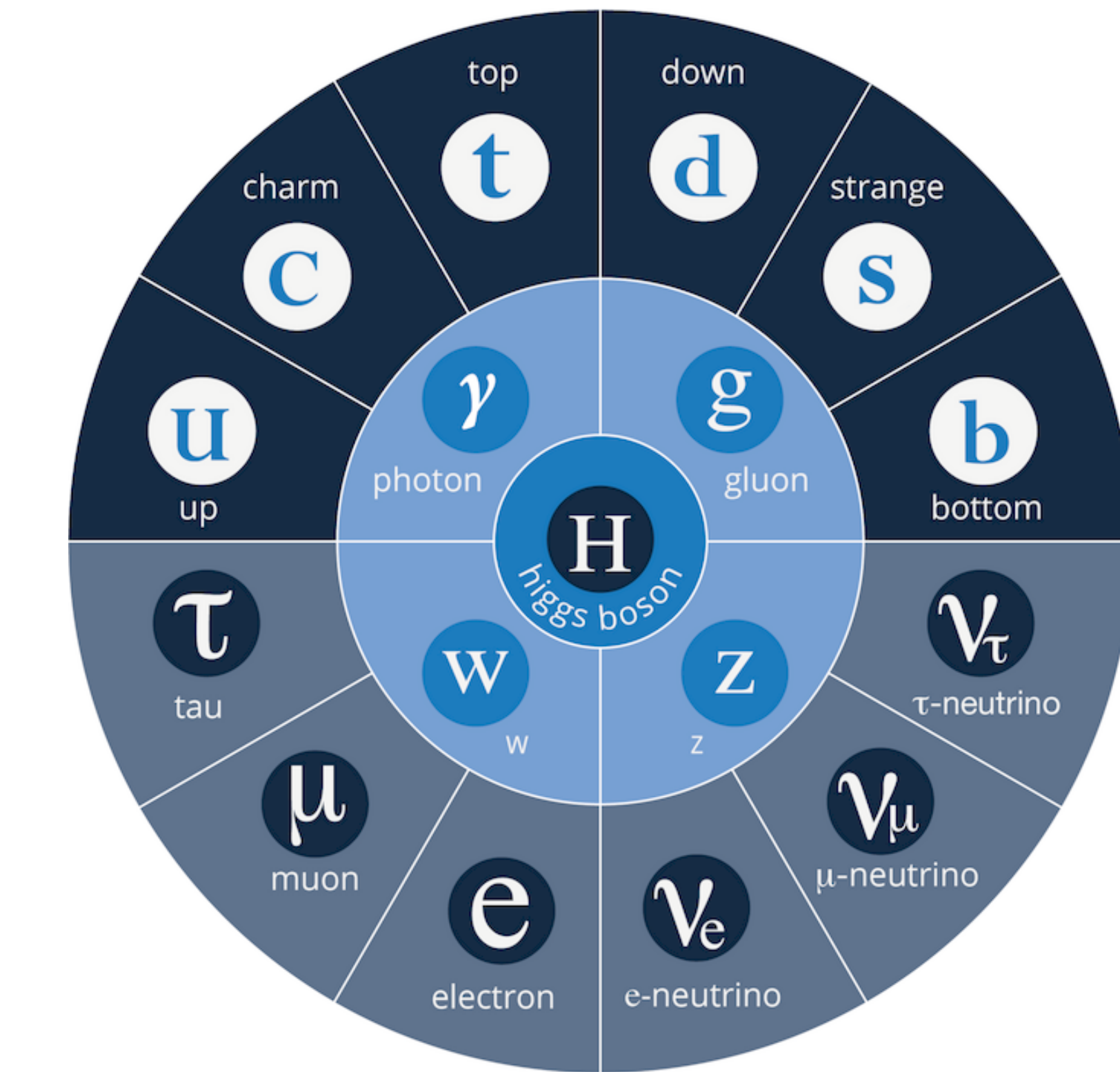
SHELDON COOPER
© presents ©
-FUN- WITH FLALS
a Feynman
diagram



Recap: SM, Einheiten, rel. Kinematik, Feynman Diagramme

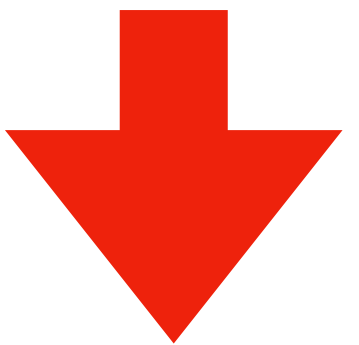
■ Standardmodell nachgefragt?

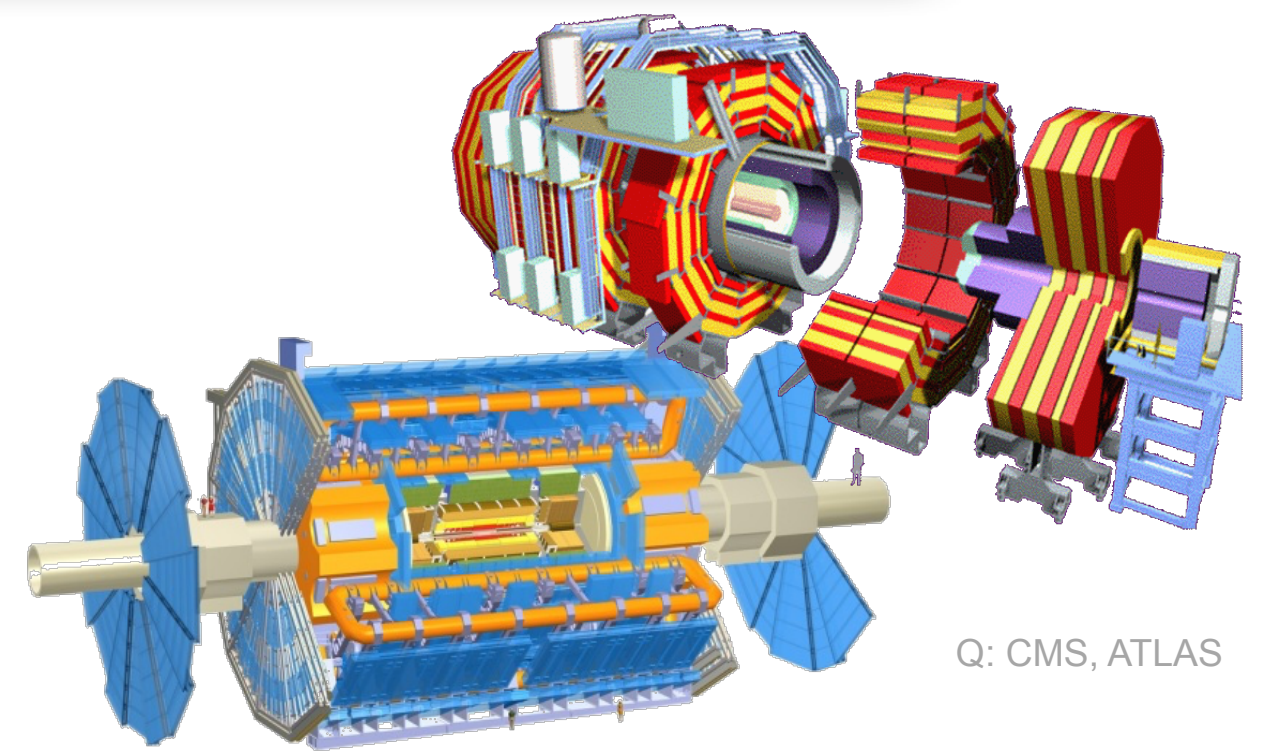
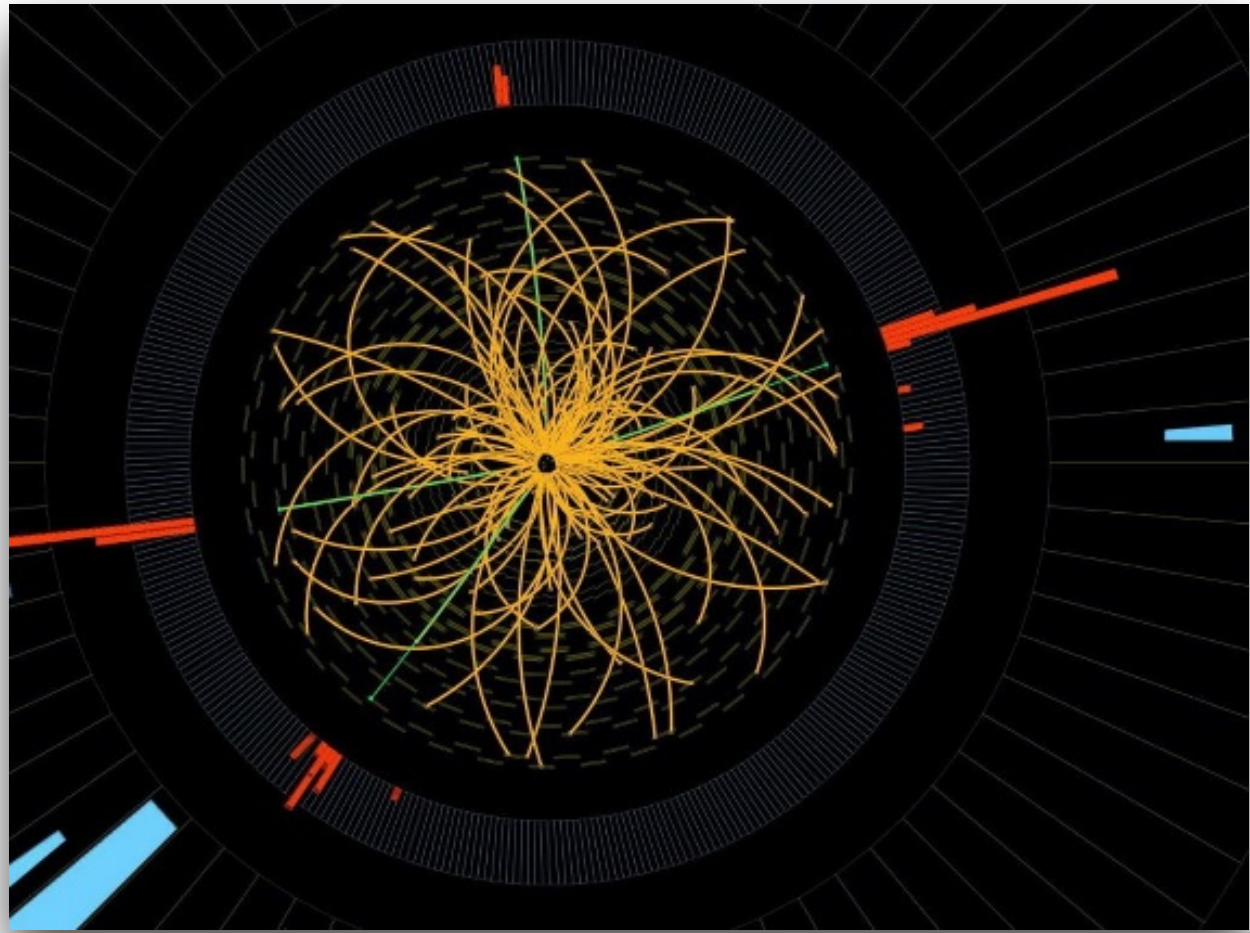
- Die Elementarladung e ist die kleinste Einheit der Ladung
- Die Masse der Austauschteilchen beeinflusst die Stärke der Wechselwirkung
- Es gibt kein Teilchen, welches an allen Wechselwirkungen des SM teilnimmt
- Die Masse eines Teilchens lässt sich sehr gut aus der Higgs-Masse berechnen



VL02

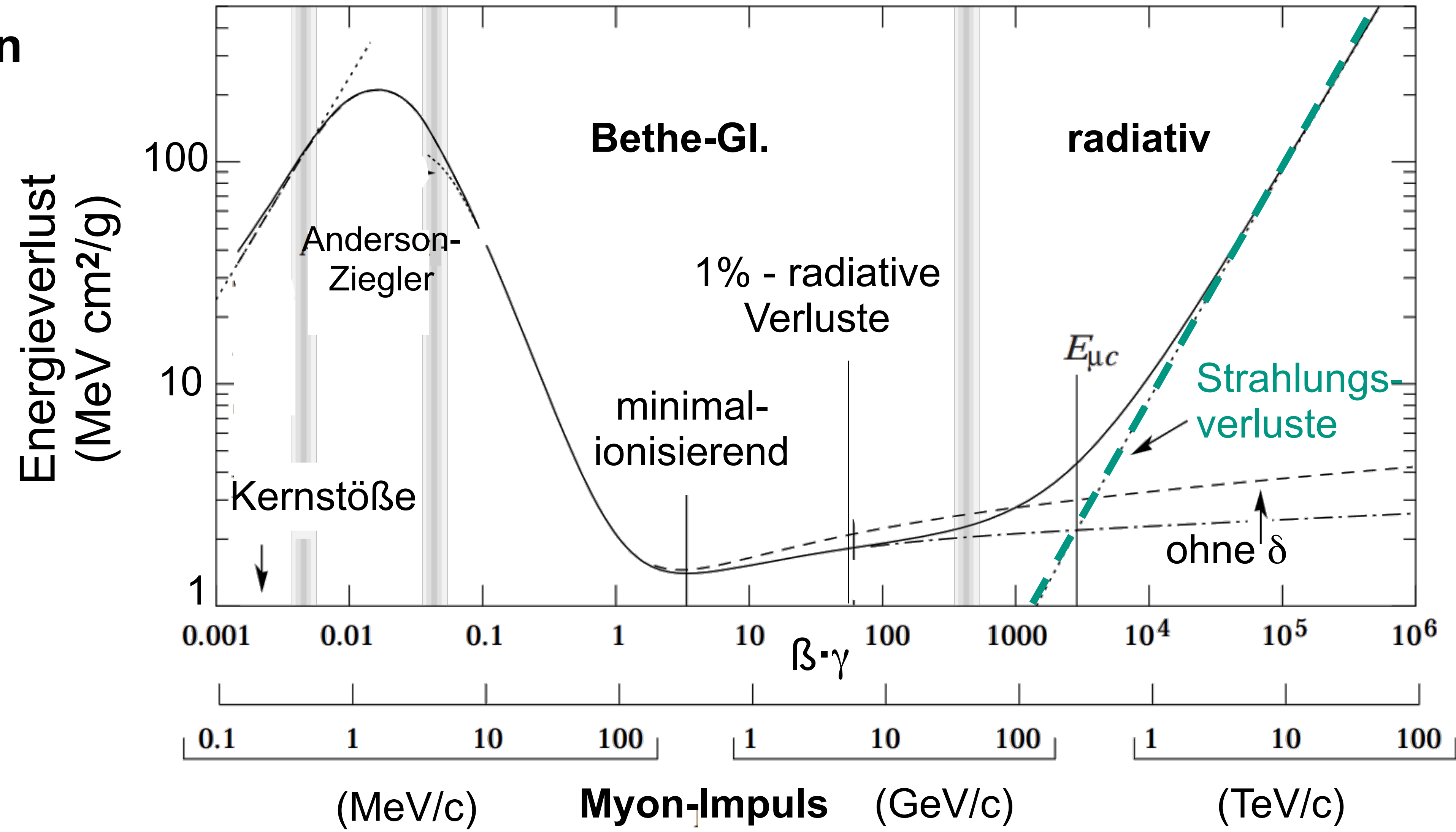
Nachweis von Teilchen in Detektoren

- Teilchenidentifikation (e , μ , γ , p , n , π , ...)
 - Masse, Ladung
 - Teilchenimpuls (Größe, Richtung, ...)
 - Spur in B-Feld
 - Teilchenenergie
 - Nachweis von Energiedepositionen
- 
- Komplexe Detectorsysteme



Energieverlust geladener Teilchen: Überblick

- dE/dX von Myonen in Cu



Q: nach PDG

Energieverlust von Elektronen

- Bremsstrahlung

$$\left(\frac{dE}{dx} \right)_{e^-, e^+} = \left(\frac{dE}{dx} \right)_{ionis.} + \left(\frac{dE}{dx} \right)_{brems}$$

- Strahlungslänge

$$\left(\frac{dE}{dX} \right)_{brems} = \frac{4 \cdot \alpha^3 \cdot N_0}{m^2} \cdot \frac{Z^2}{A} \cdot \ln\left(\frac{183}{Z^{1/3}}\right) \cdot E = \frac{1}{X_0} \cdot E$$

- Wie ist die kritische Energie definiert?

- A) minimale Ionisationsenergie
- B) Energieverlust durch Ionisation = Bremsstrahlung
- C) Energieverlust von Elektronen = Positronen
- D) keine Ahnung



Wechselwirkung von Strahlung mit Materie

■ Energieabhängige Wirkungsquerschnitte von Gammas: 1 keV...100 MeV

- Energien < 0.1 MeV

Photoeffekt

hohe γ -Abschwächung

- Energien \sim 1 MeV

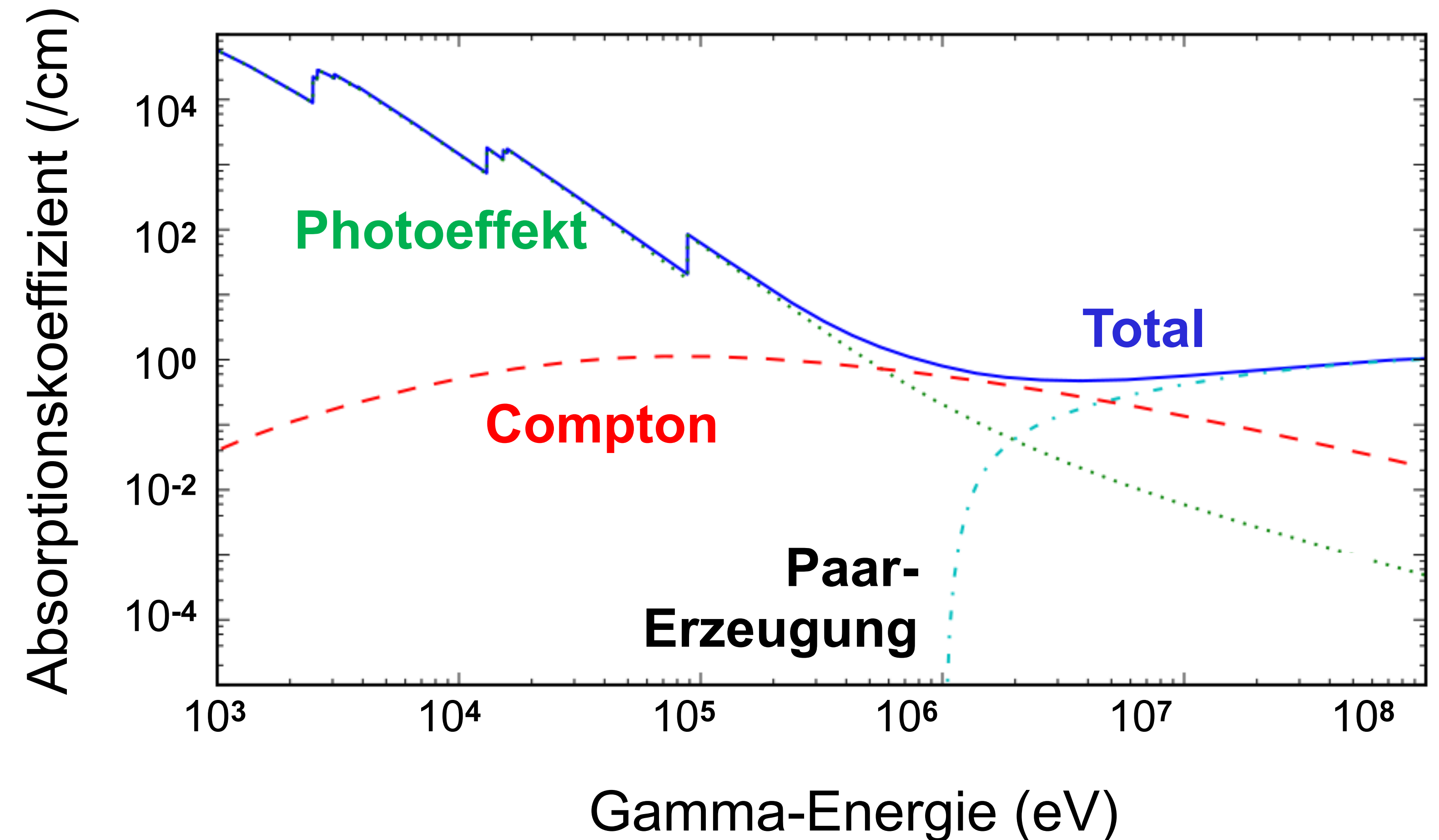
Comptoneffekt

kleine γ -Abschwächung

- Energien > 10 MeV

Paarbildung

kleine γ -Abschwächung

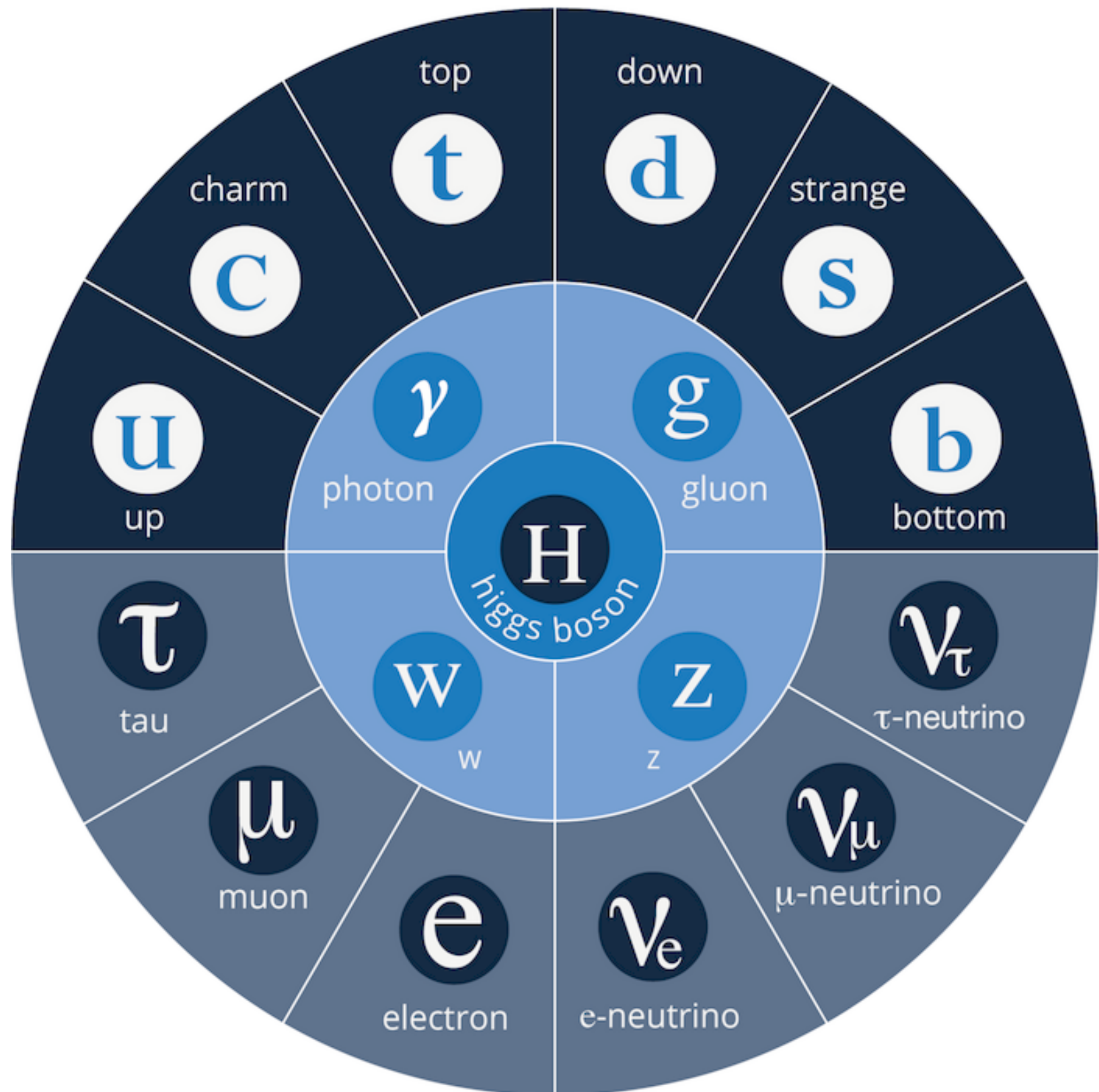


■ Wie kann man ein hochenergetisches neutrales pion nachweisen?

- 1) mit einem Spurdetektor
- 2) mit einem elektromagnetischen Kalorimeter
- 3) mit einem hadronischen Kalorimeter

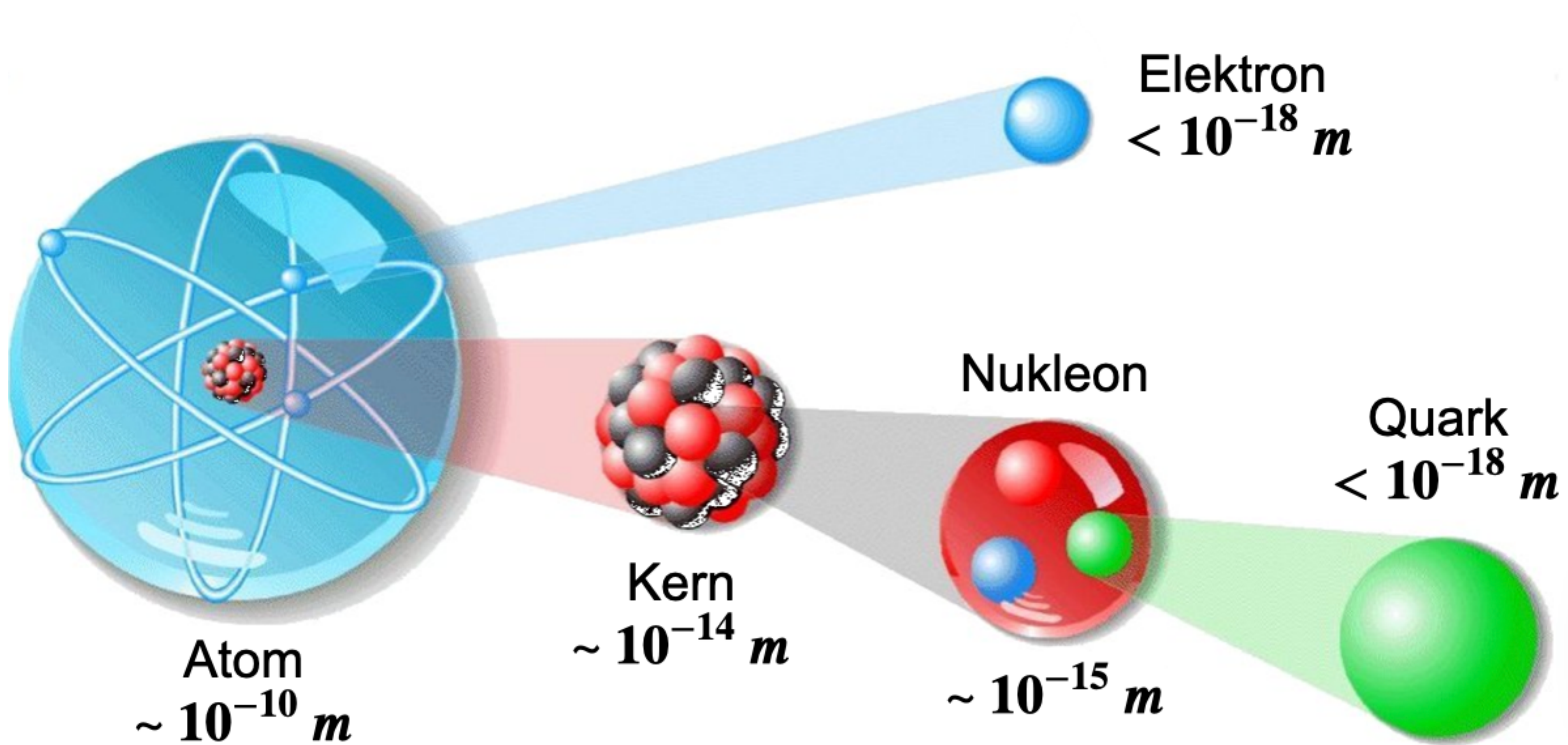


■ 2. Experimentelle Methoden



- 2.1. Energieverlust geladener Teilchen
- 2.2. Energieverlust von Elektronen
- 2.3. Cherenkov- und Übergangsstrahlung
- 2.4. Wechselwirkung von Strahlung mit Materie
- 2.5. Hadronische Wechselwirkungen
- 2.6. Nachweistechniken
- 2.7. Detektorsysteme in der Teilchenphysik
- 2.8. Teilchenbeschleuniger

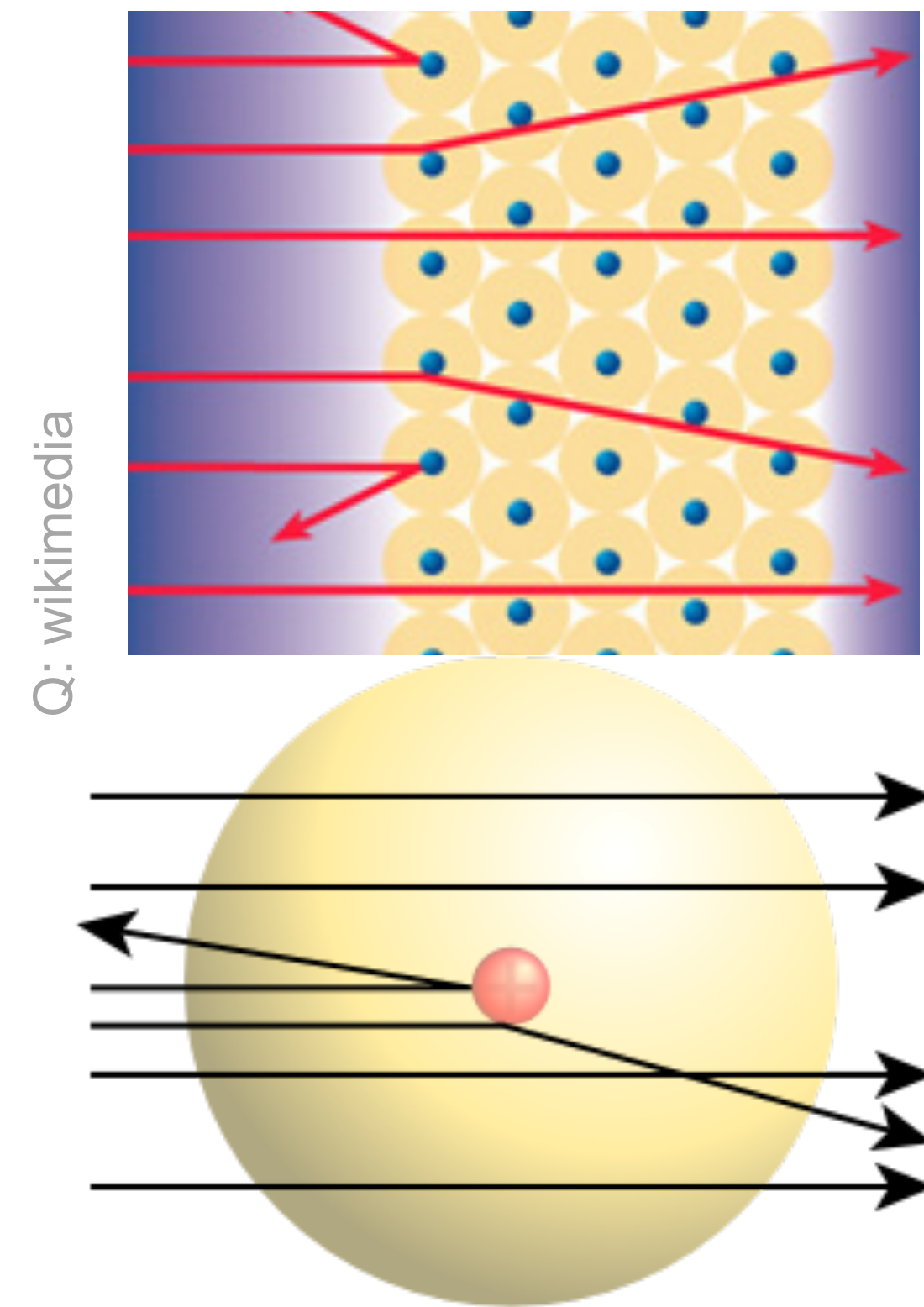
Struktur der Materie



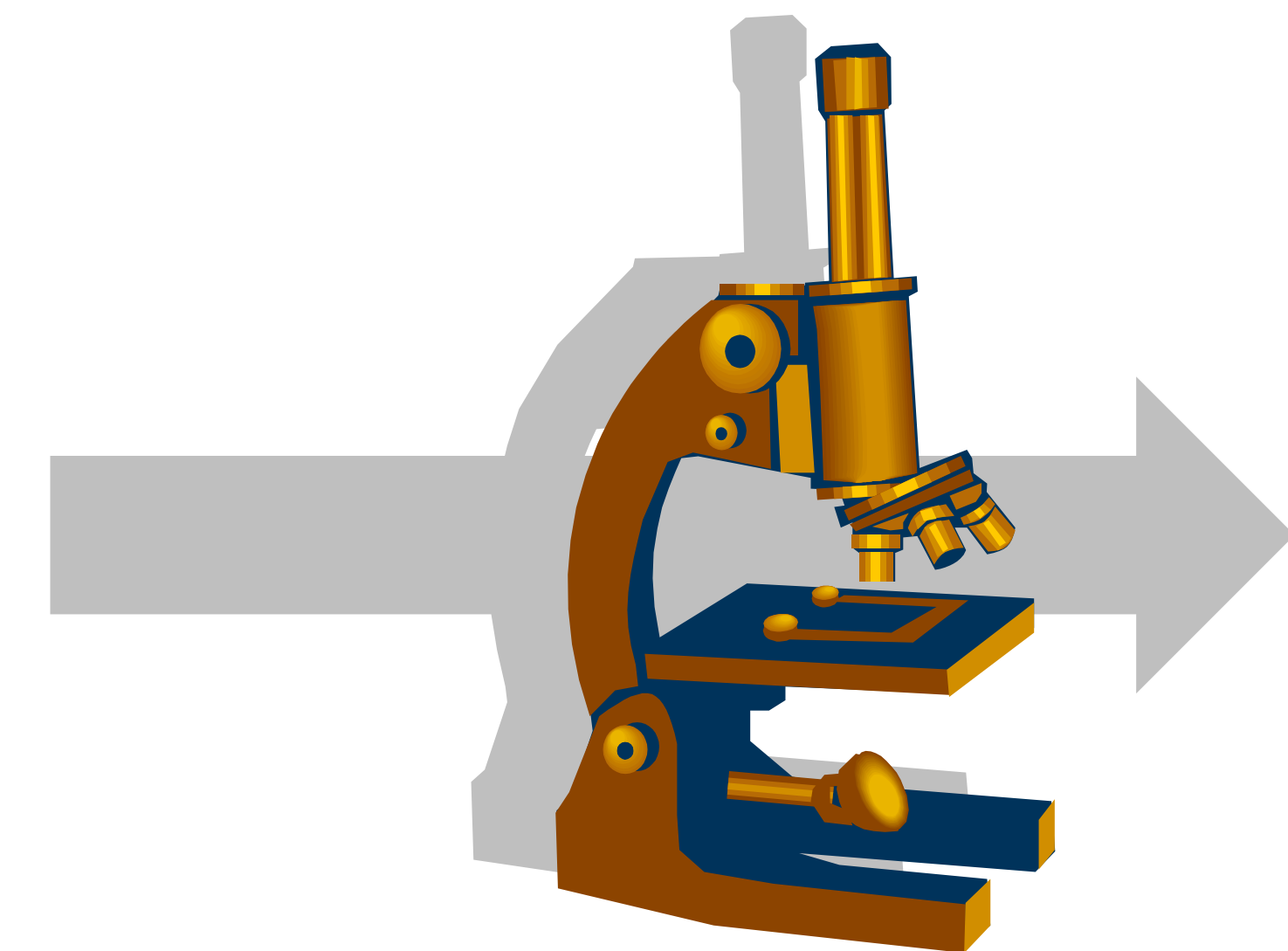
Streuexperimente: Fortschritte

■ Streuexperimente: Messungen bei immer höherer Energie

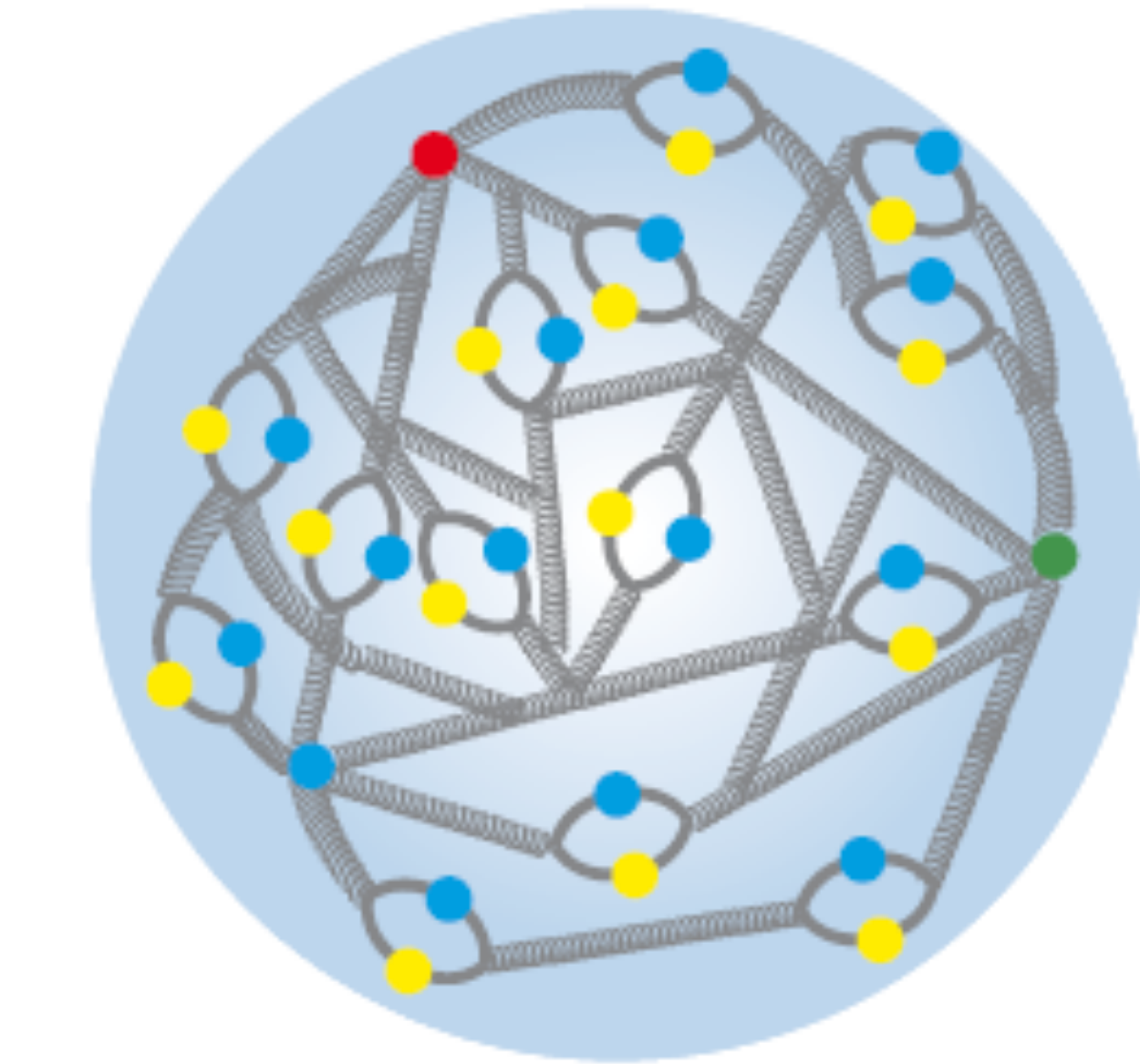
- moderne **Beschleuniger** mit immer höherer Energie & besserer Auflösung



punktformiger Kern



$$0,197 \text{ fm} = 1 \text{ GeV}^{-1}$$



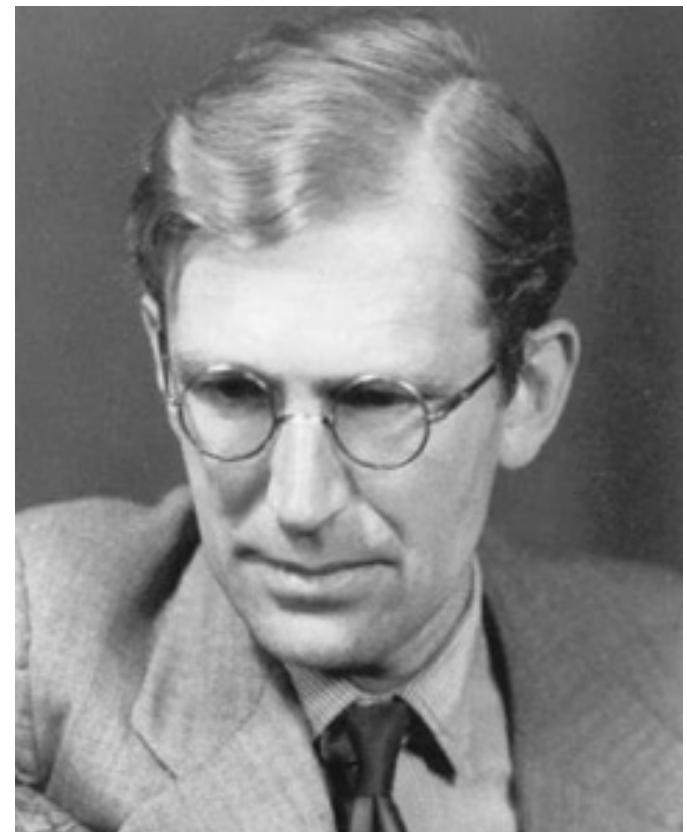
komplexes Nukleon bestehend
aus Partonen: **Valenzquarks**,
Seequarks, **Gluonen**

Mott-Streuung und Formfaktoren

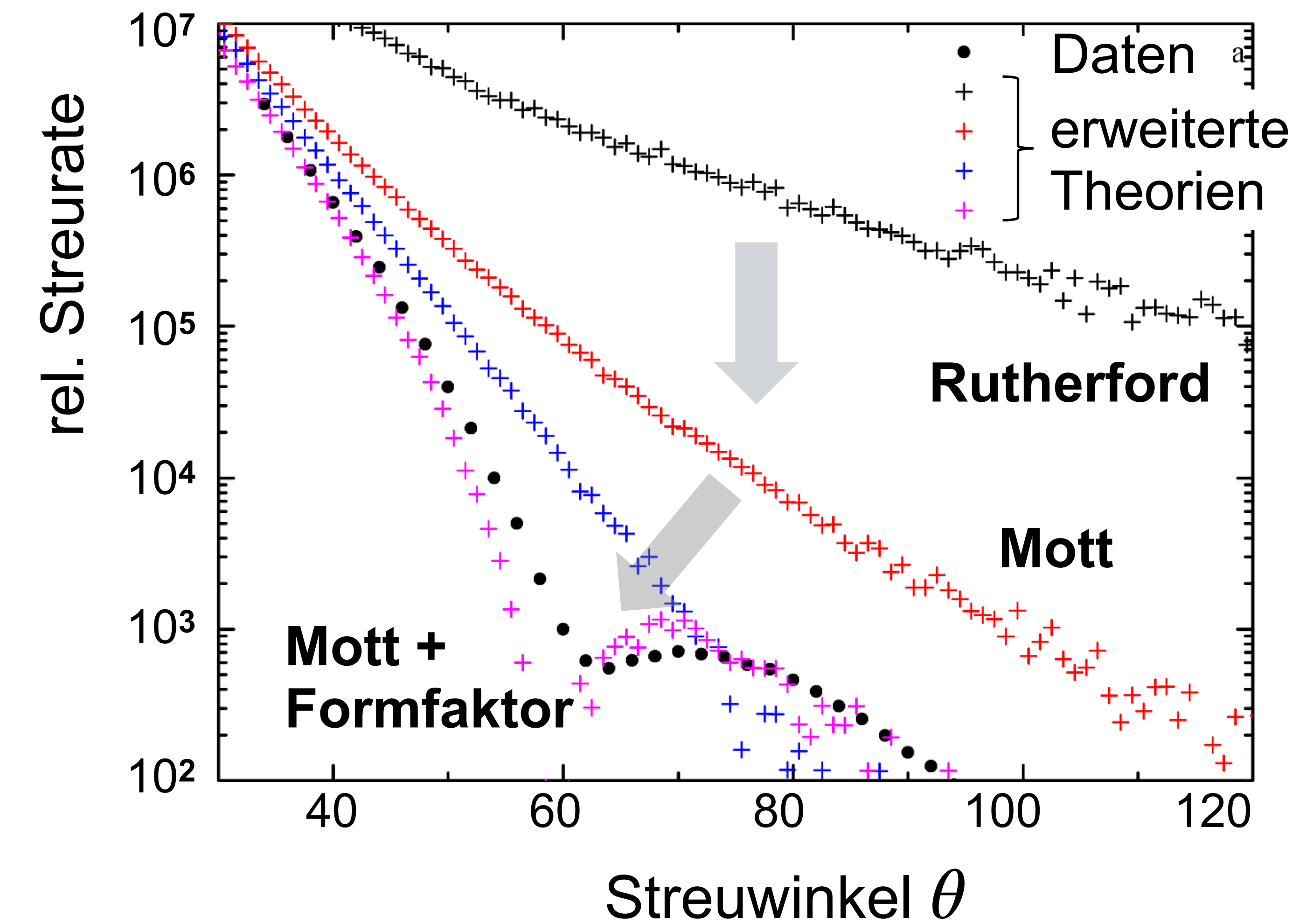
■ Berücksichtigung weiterer Effekte für $d\sigma/d\Omega$

$d\sigma/d\Omega$ gibt Aufschluss über:

- innere Struktur des Targets
- Struktur der Wechselwirkung
 - Radialabhängigkeit
 - Spin-Abhängigkeit, ...

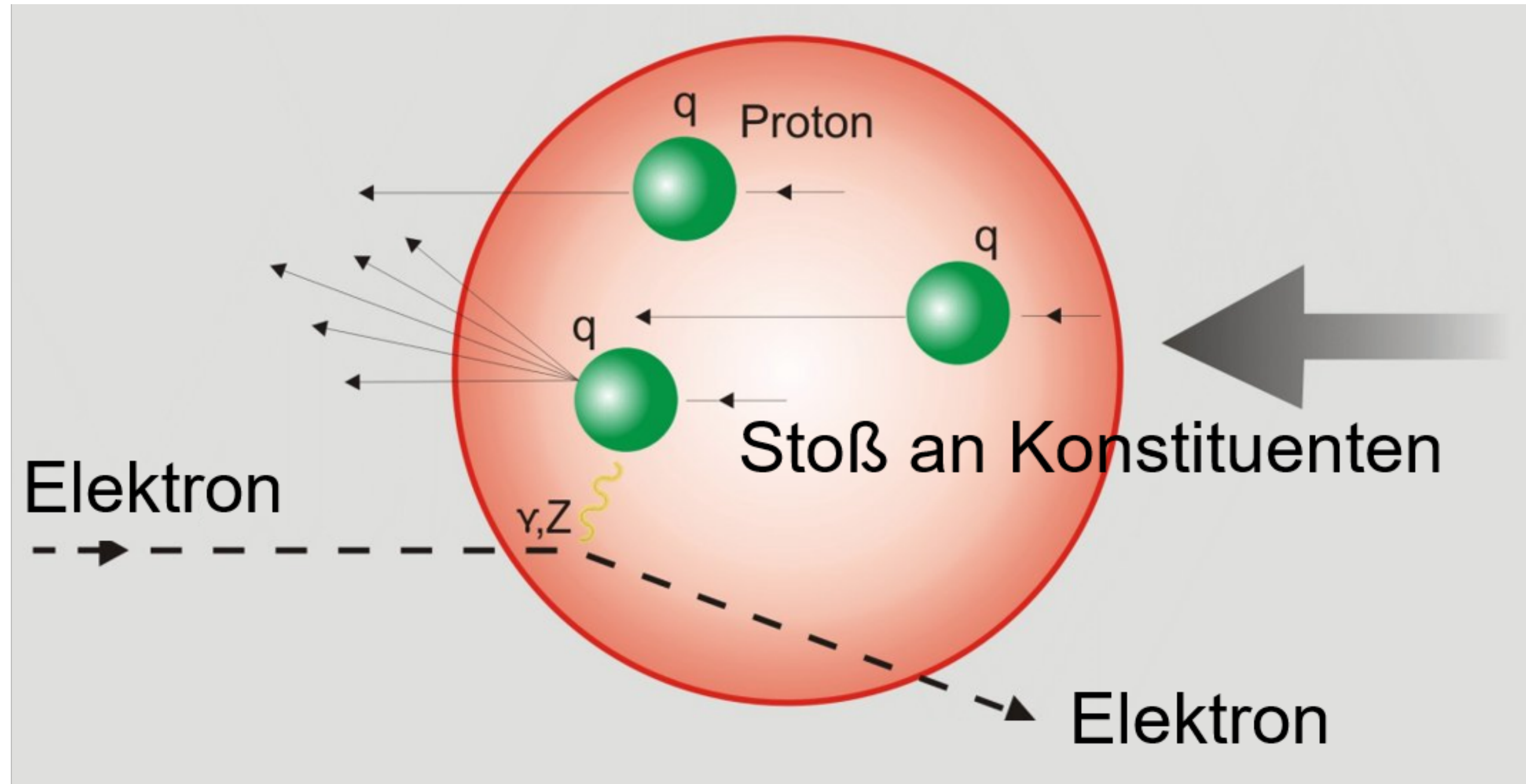


Nevill F. Mott

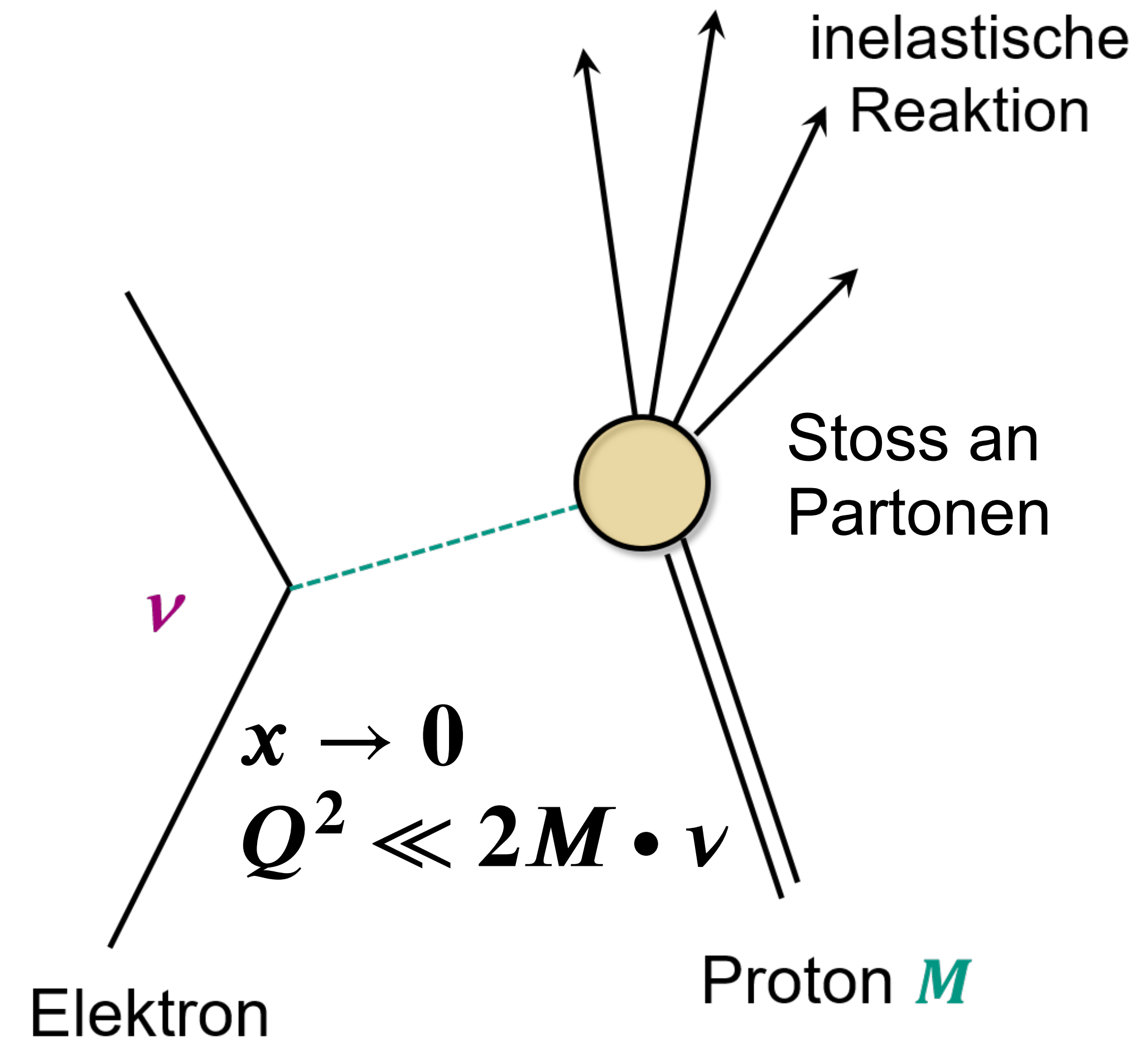


Tiefinelastische Streuung am Parton

■ Streuprozess an individuellem Parton innerhalb des Nukleons



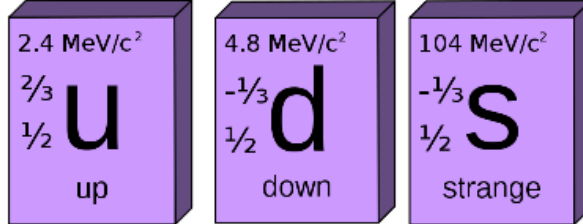
- konstanter Formfaktor \Rightarrow Streuung an punktförmigen Konstituenten ('**Partonen**')



Nachweis der Quarkflavours

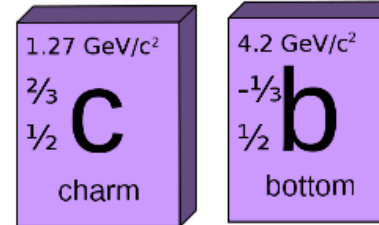
■ Erzeugung der Quarkflavours an Collidern

- niedrige Energien:



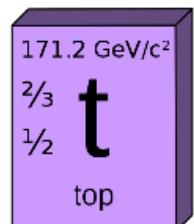
leichte Quarks manifestieren sich in **Mesonen**, Baryonen

- mittlere Energien:

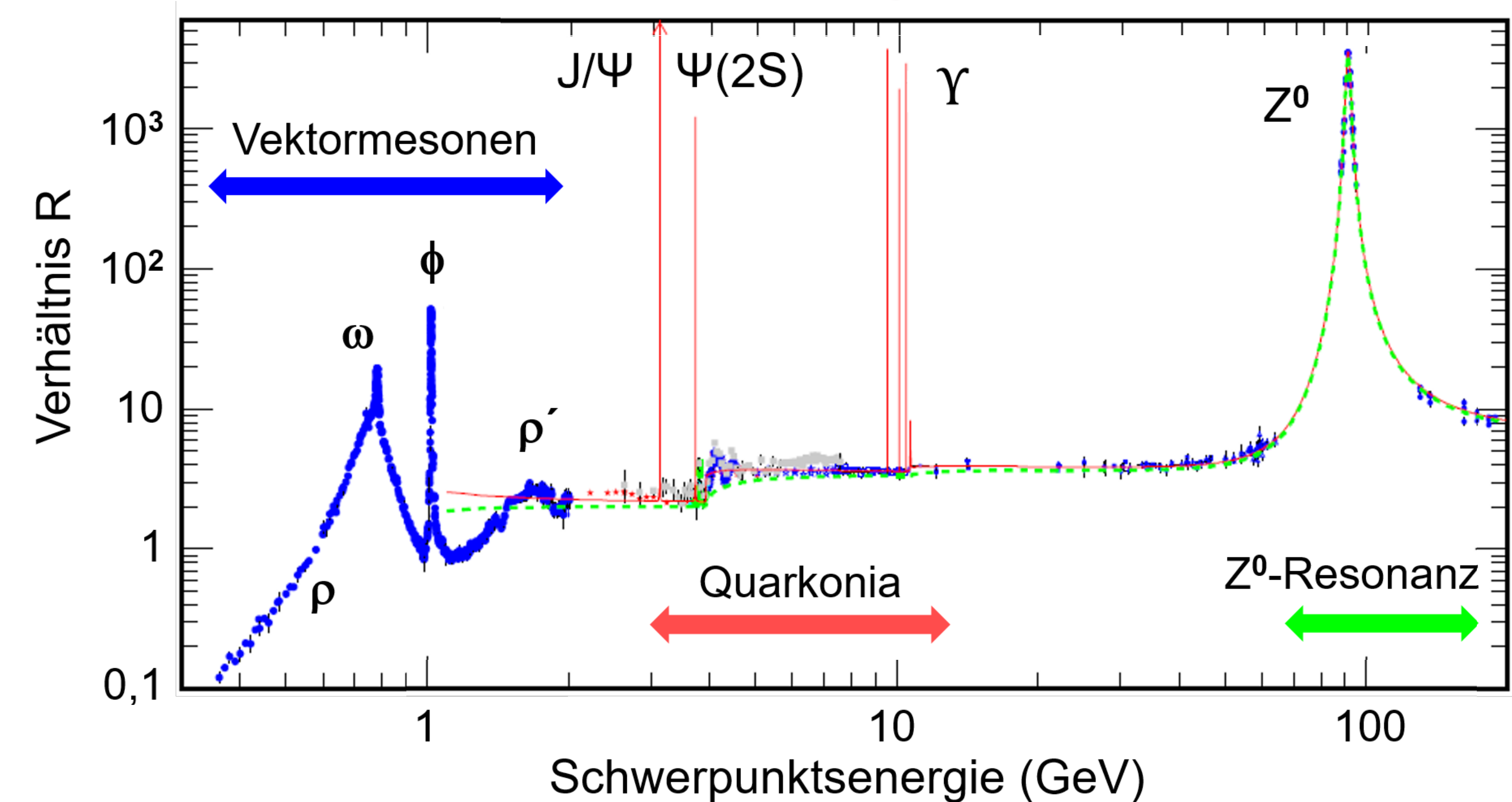
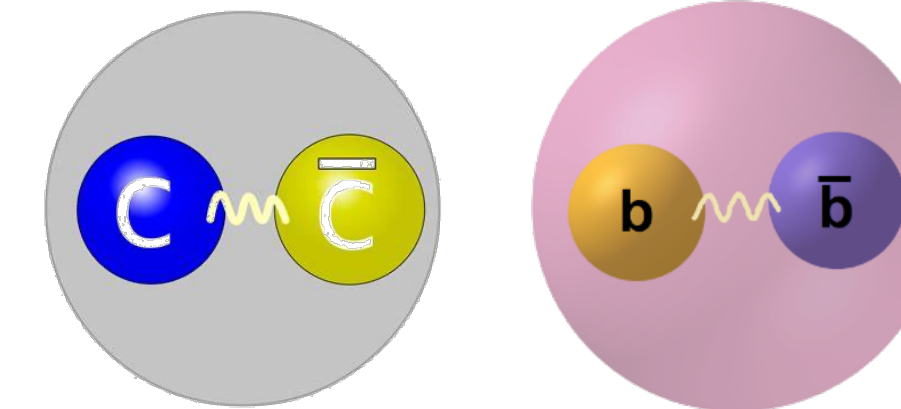


Quarkonia J/ψ, Υ und Anregungen – gebundene Zustände

- hohe Energien:



top/anti-top Produktion,
keine gebundenen Zustände

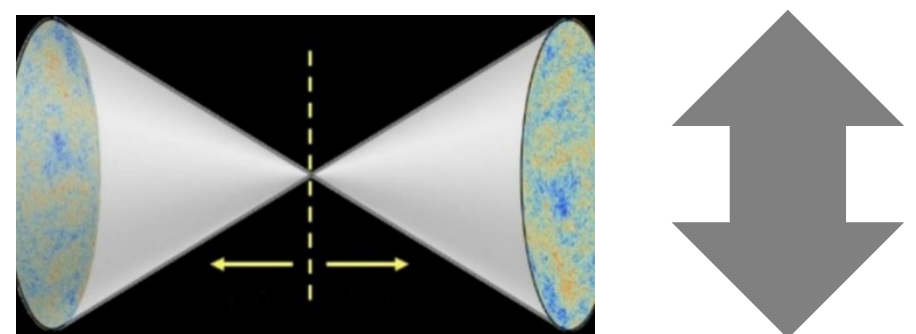


Diskrete Symmetrien P , C , und T in der Natur

- diskrete, nicht-kontinuierliche Symmetrien P , C , T

CPT -Theorem:

CPT die einzige mögliche Kombination von P , c , T die eine exakte Symmetrie in der Natur darstellt!



Spin-Statistik-Theorem:
Fermionen & Bosonen

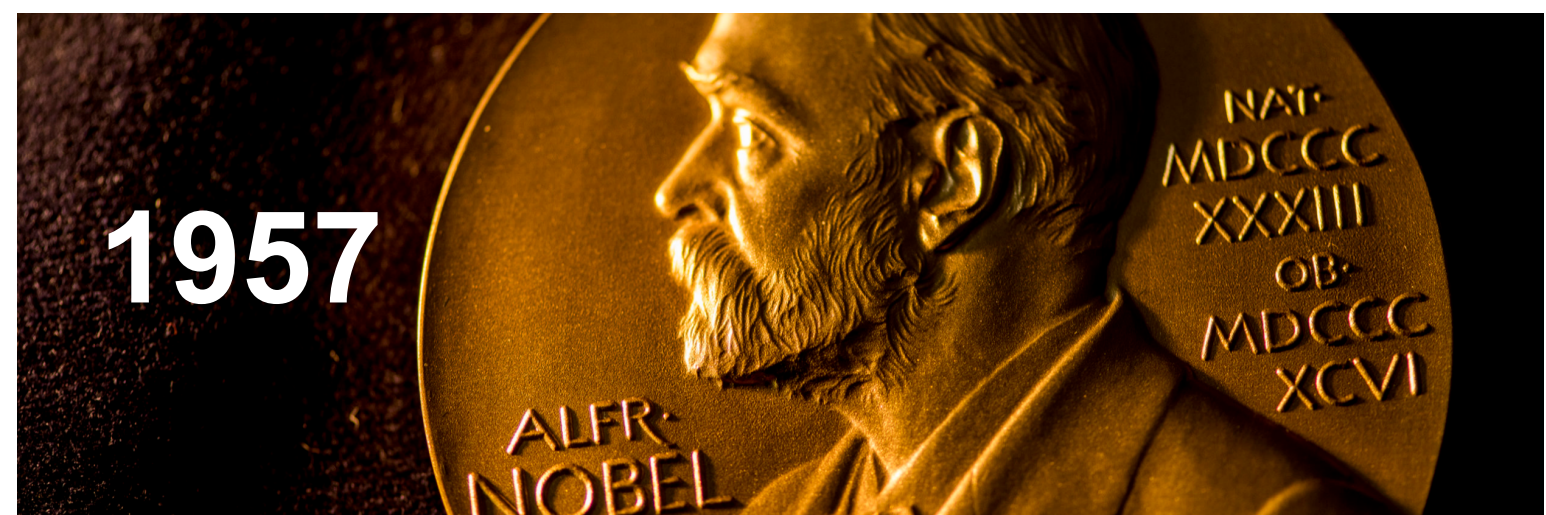


Arbeiten von Lee und Yang: Paritätsverletzung?!

- 1956: Lee & Yang schlagen experimentelle Tests vor*, um zu untersuchen, ob die **Parität P** durch die schwache Wechselwirkung verletzt wird
 - setzen experimentelle Teams auf die Spur der Paritätsverletzung



Tsung-Dao Lee Chen Ning Yang



*"for their penetrating investigation of the so-called **parity laws** which has led to **important discoveries** regarding the elementary particles"*



C.S. Wu
L. Lederman

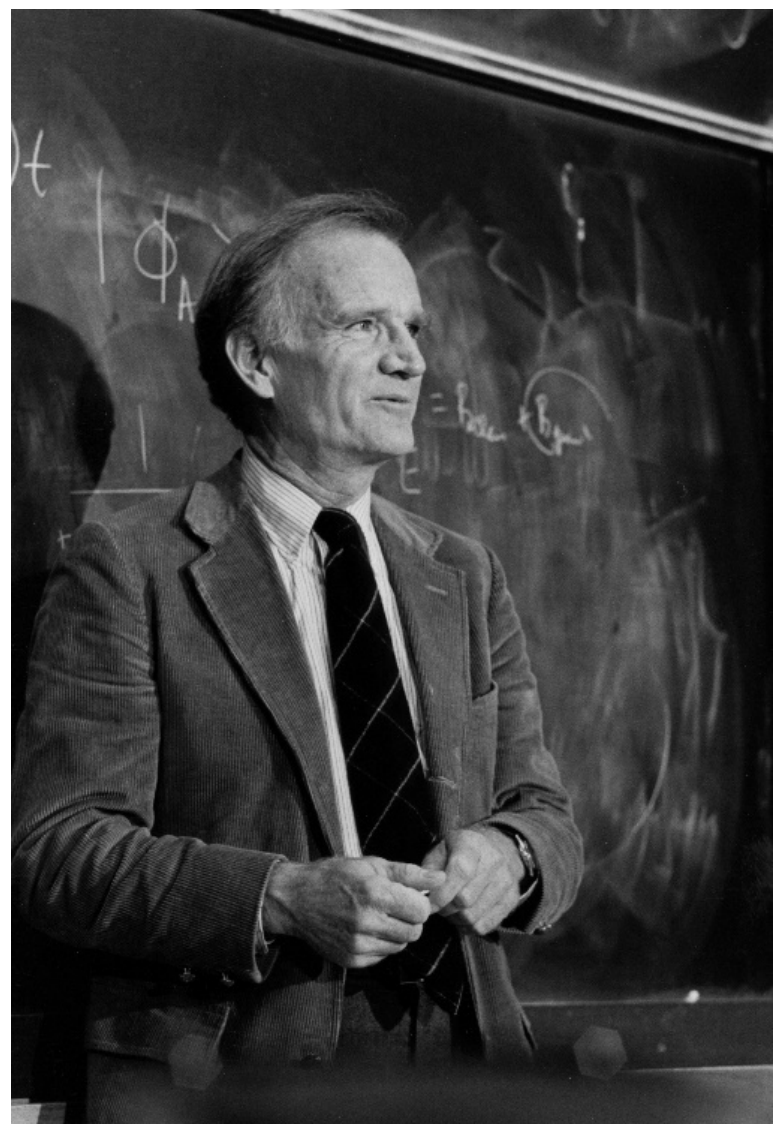


Kaon-Zerfälle: der Nachweis der CP -Verletzung

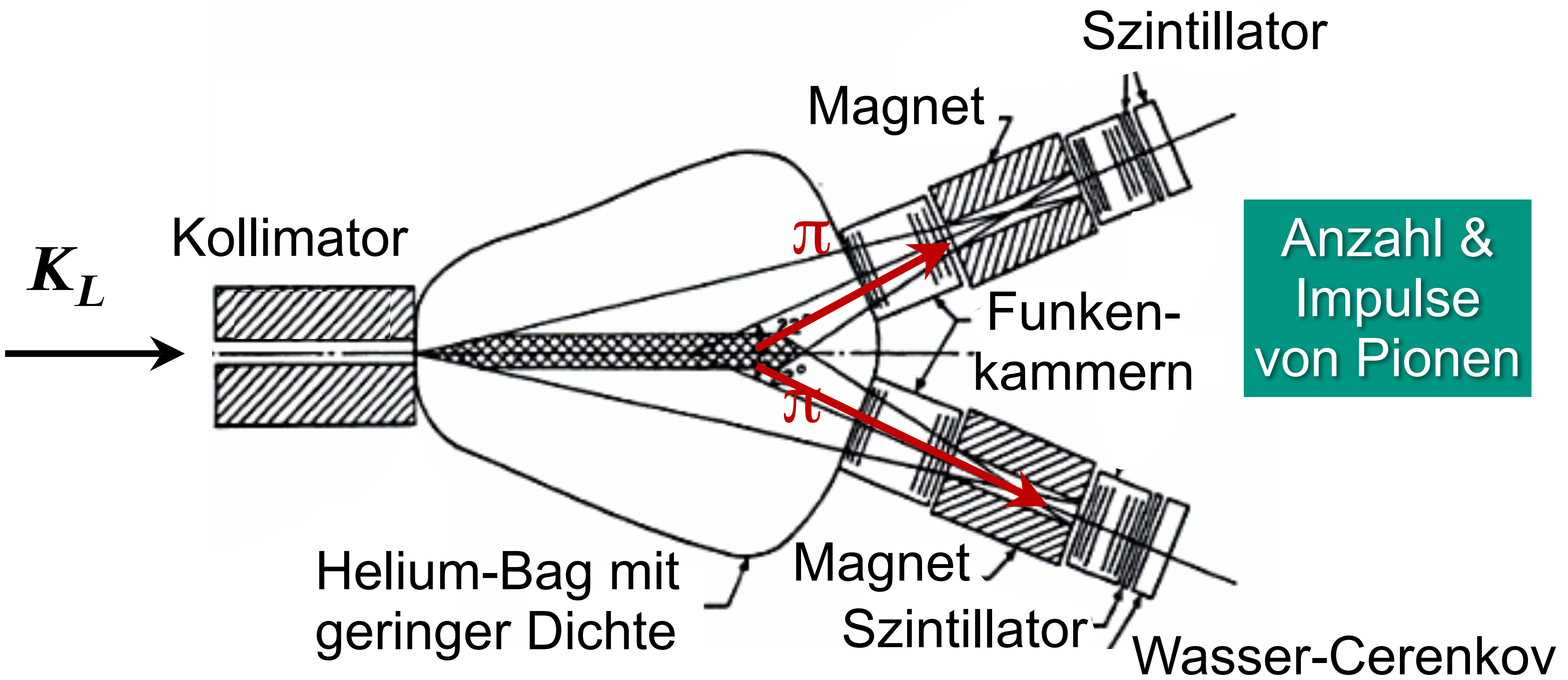
- Cronin & Fitch weisen CP -Verletzung im System der neutralen Kaonen nach am AGS*-Beschleuniger des Brookhaven National Laboratory (1964)
- Beobachtung: dominanter Zerfallsmodus $K_L \rightarrow 3\pi$
aber: auch kleine Rate an $K_L \rightarrow 2\pi$ mit $R = (2,3 \pm 0,4) \times 10^{-3}$



James Cronin

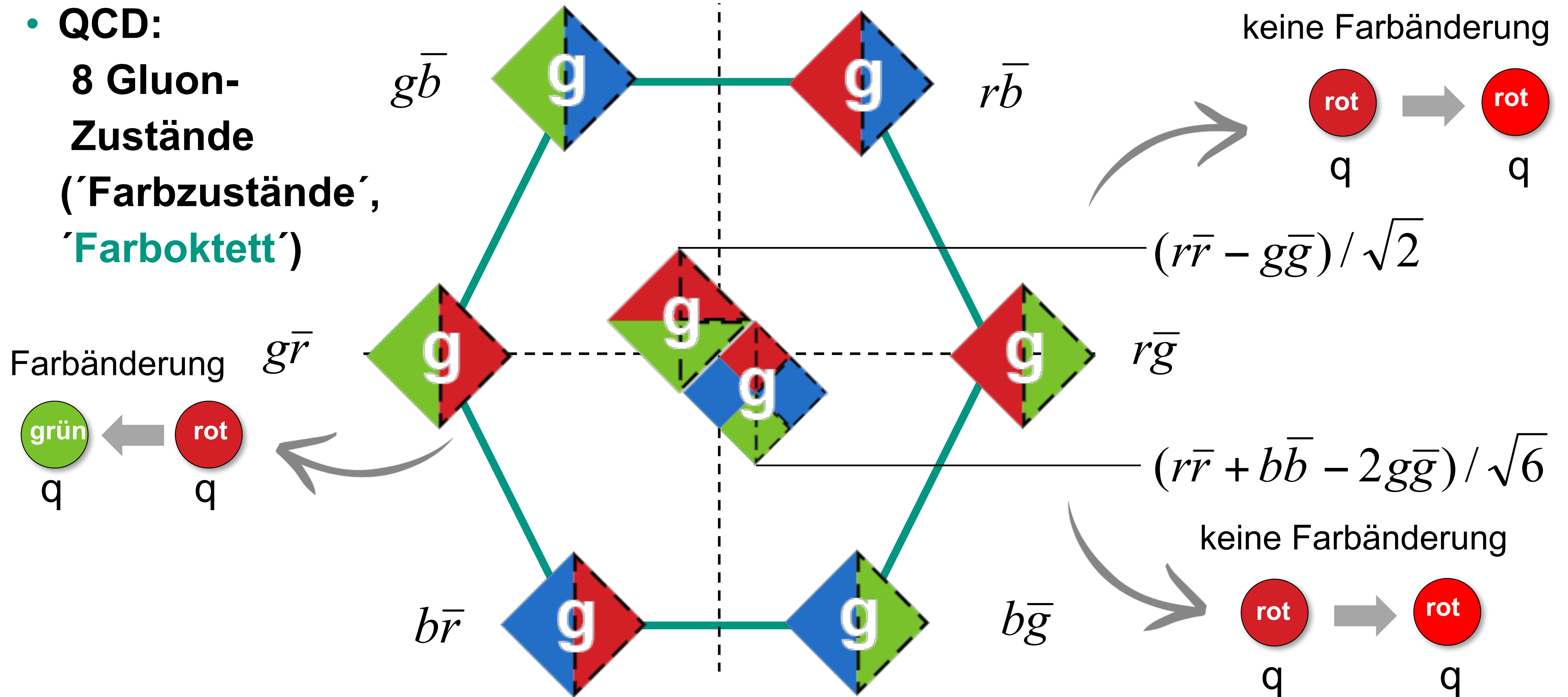


Val Fitch



Gluonen als Farboktett

- QCD:
8 Gluon-Zustände
 ('Farbzustände',
 'Farboktett')



Laufende Kopplung α_s in der QCD

- **Starke Kopplung α_s bei verschiedenem Impulstransfer im Vergleich mit QCD**

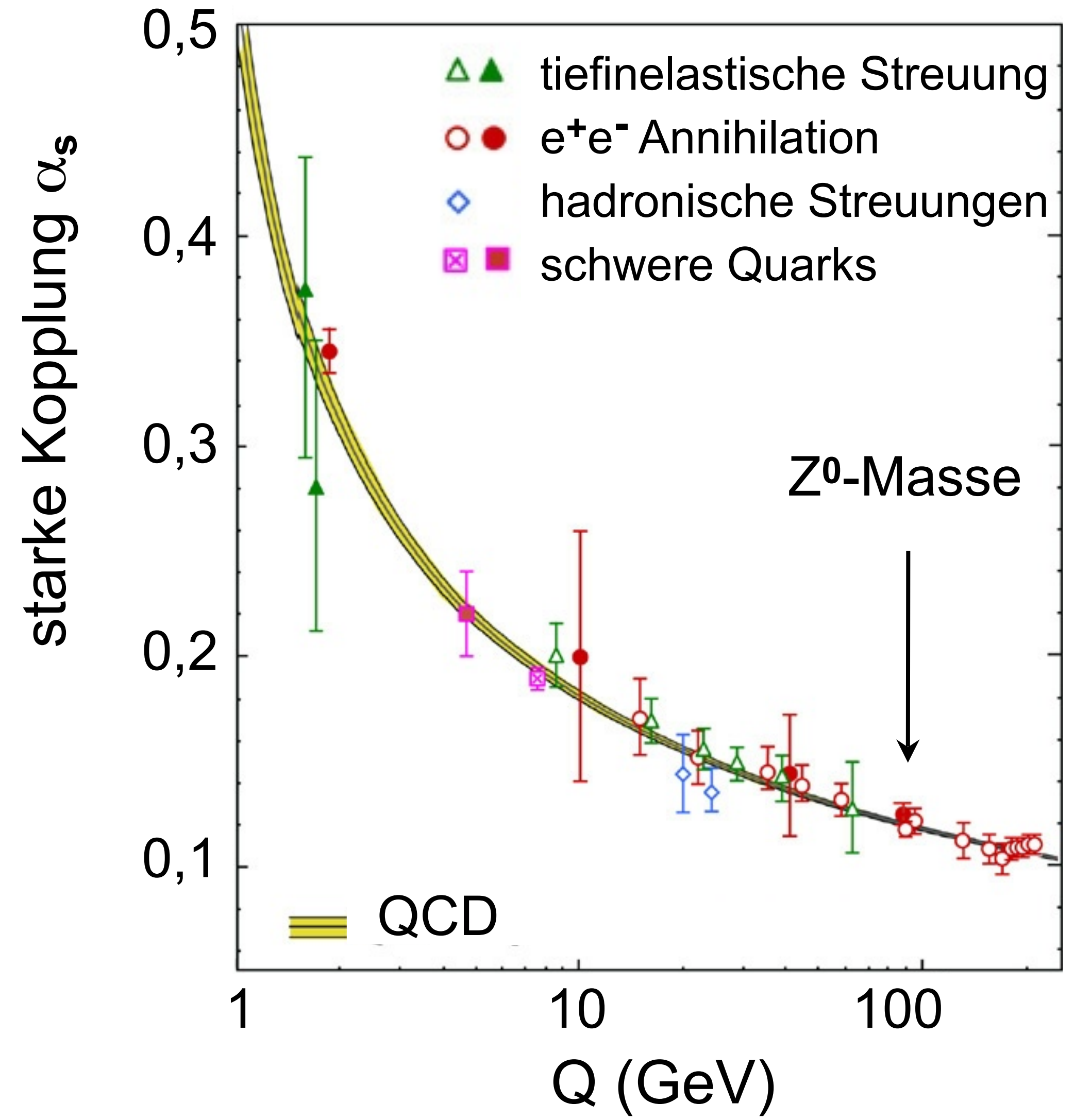
- Energie-Bezugspunkt für α_s ist die Masse des Z^0 -Bosons (90 GeV)

$$\alpha_s(M_Z) = 0,1179 \pm 0,0010$$

- α_s hängt implizit von der Zahl der **Farbfreiheitsgrade n_c** ab, aus Anpassung an experimentelle Daten:

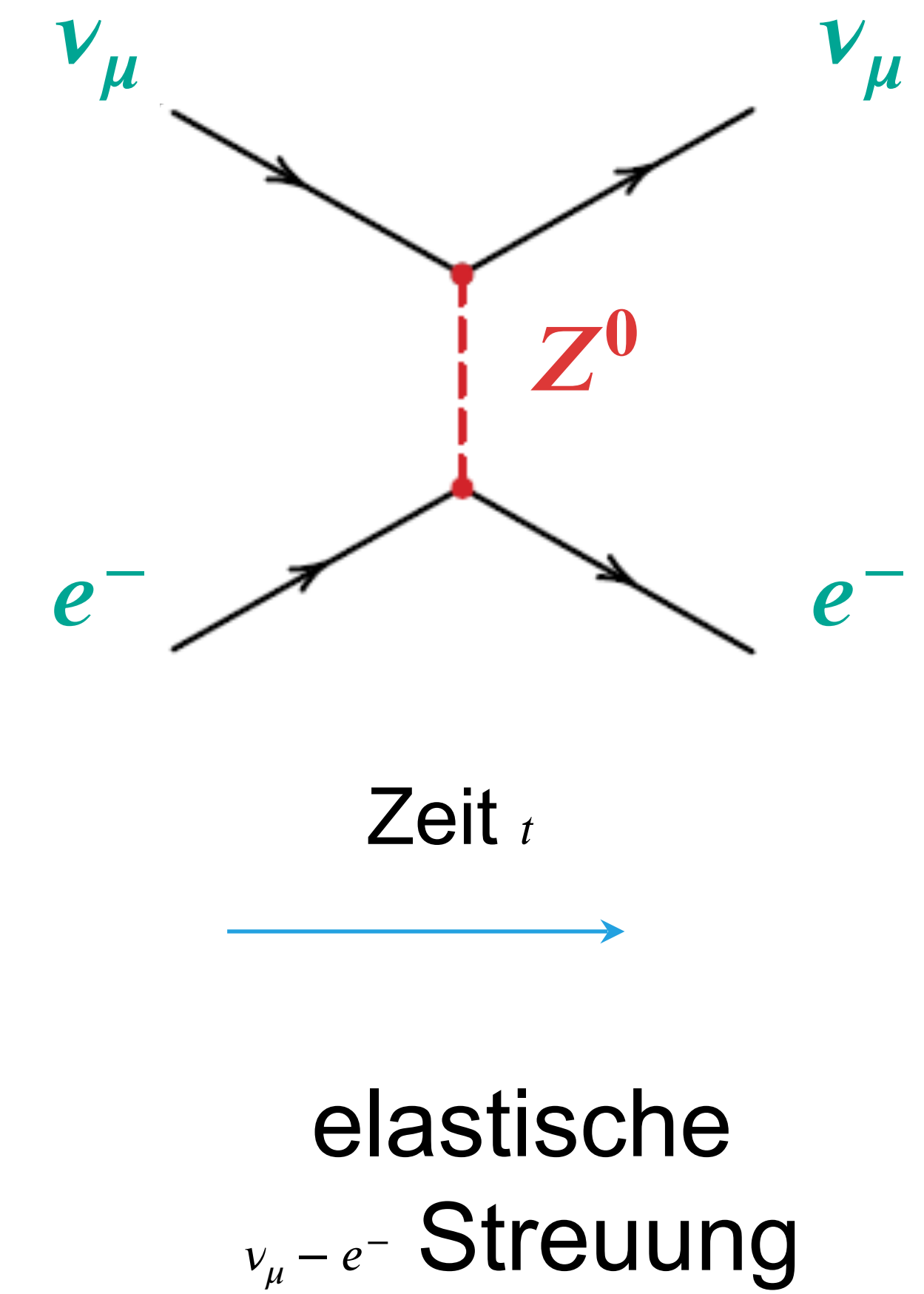
$$n_c = 3,03 \pm 0,12$$

3 Farbfreiheitsgrade der QCD β



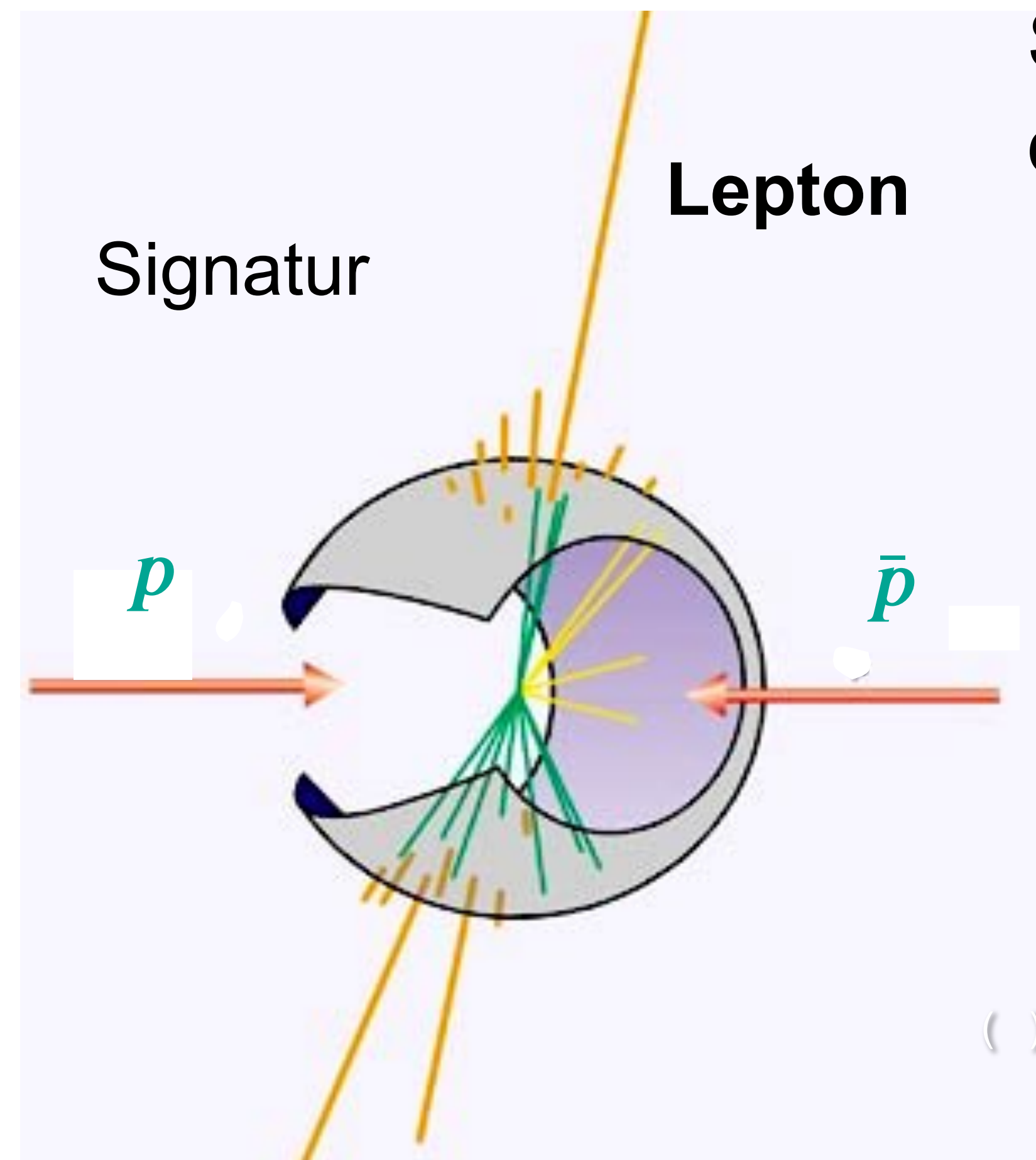
Gargamelle: Untersuchung von CC und NC

- Eine Blasenkammer mit 20 t Freon macht 1973 einen Schlüsselnachweis
 - Suche nach NC-Ereignissen in rein leptonischem Kanal
 - elastische $\nu_\mu - e^-$ Streuung, vermittelt durch Z^0 - Boson
 - Signatur: elektromagnetischer Schauer durch Stoßprozess am e^-
 - Blasenkammer: Aufnahme der Teilchenreaktionen mit Blitzlicht, danach: Entwicklung des Films, visueller Scan des Films

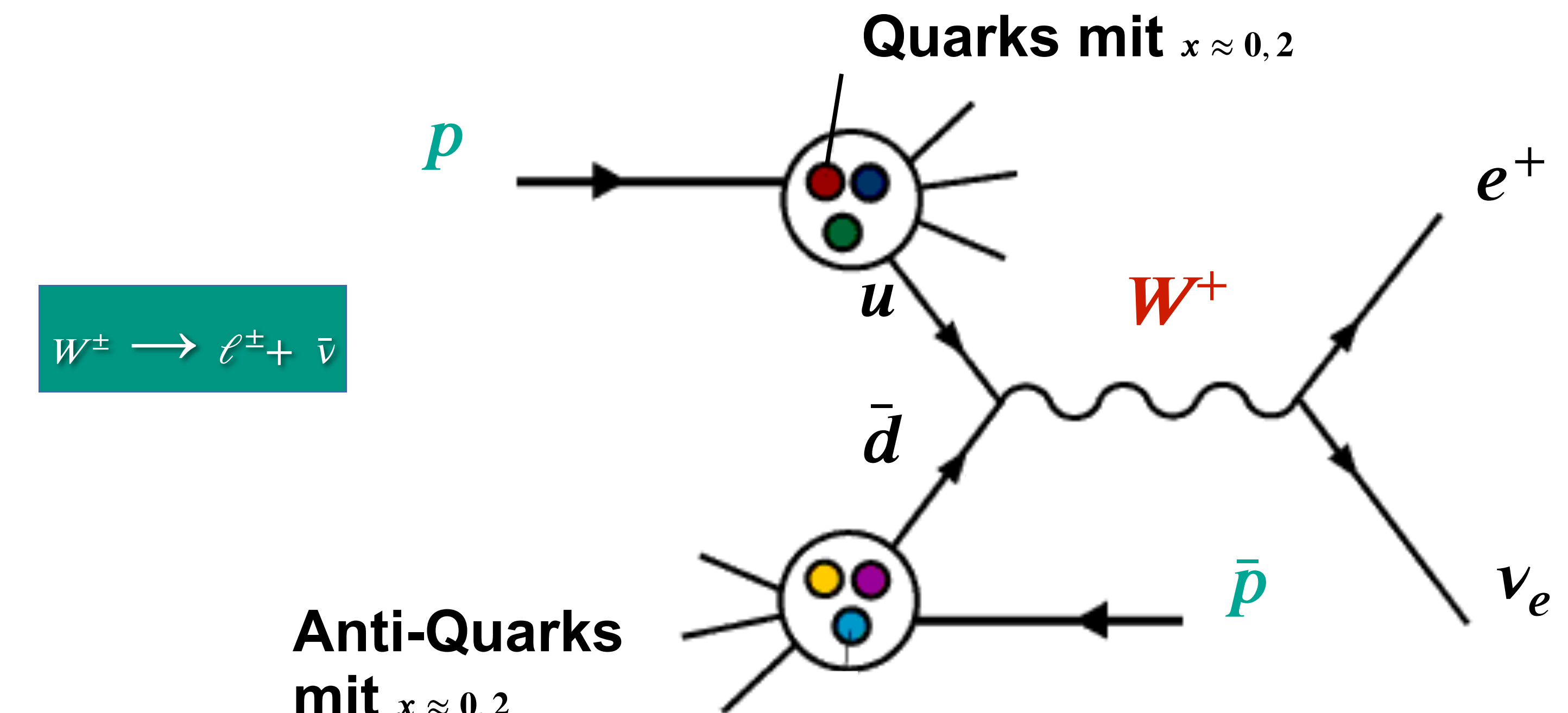


erster Nachweis der Bosonen W^\pm und Z^0

- Erzeugung von W^\pm und Z^0 über 'Drell-Yan'-Prozess ($= q\bar{q}$ -Annihilation)

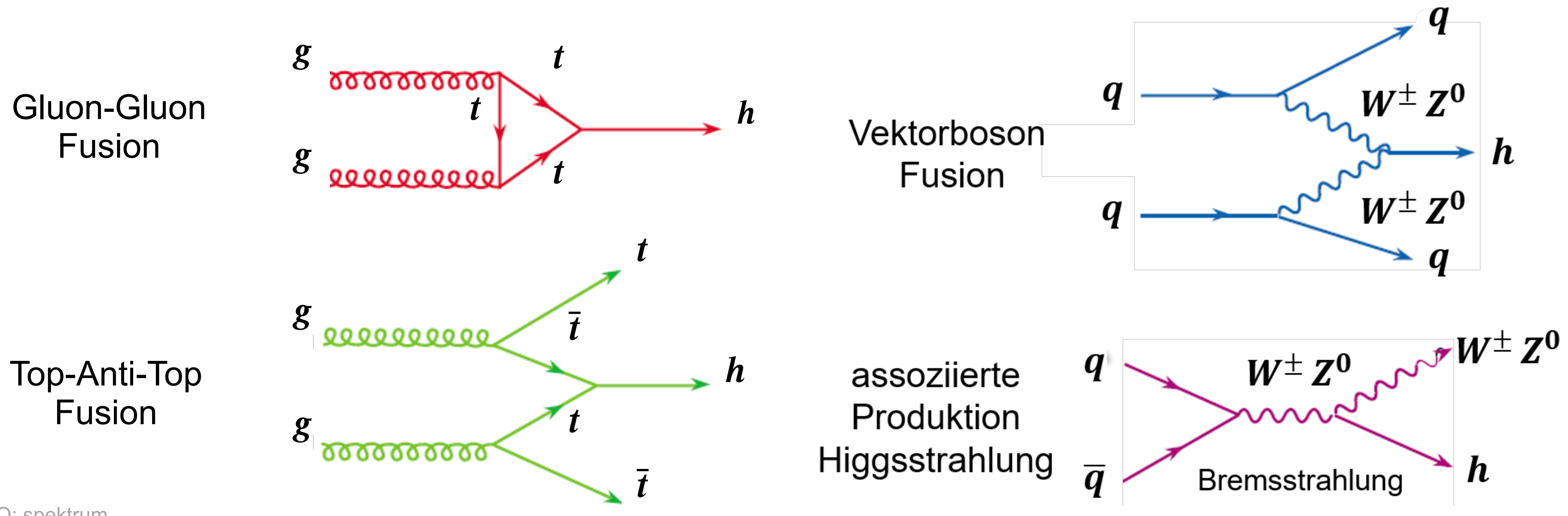


Signatur W^\pm - Zerfall: hochenergetisches Lepton ℓ^\pm ,
dabei fehlende Transversalenergie (ν bzw. $\bar{\nu}$)



Higgs-Erzeugung am Large Hadron Collider

- Higgs-Produktionsmechanismen bei hoher cms -Energie $\sqrt{s} \sim$ einige TeV
 - 4 Produktionsmechanismen: dominant am LHC ist **Gluon – Gluon Fusion**



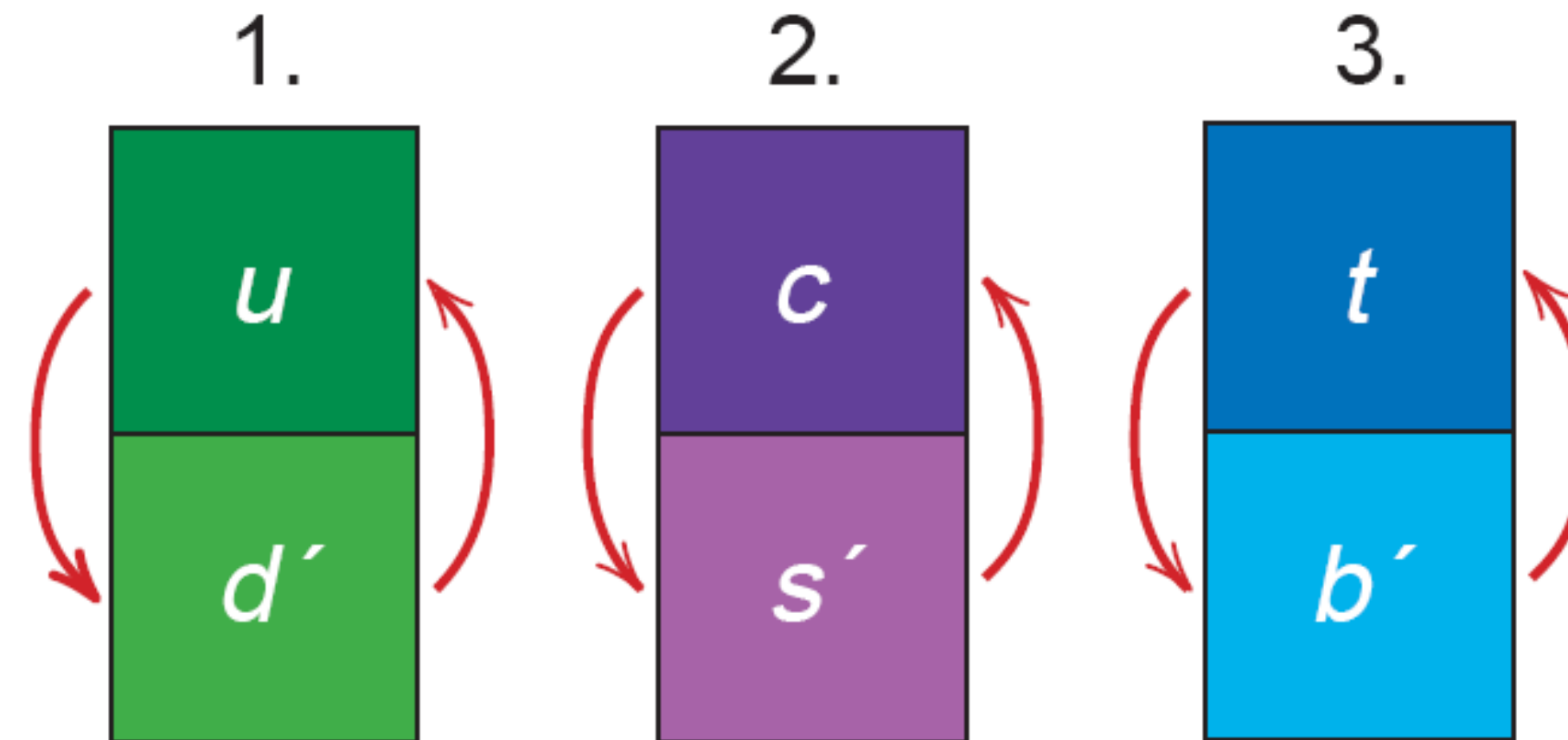
Q: spektrum

CKM-Mischungsmatrix

Mischung der 3 Quark-Generationen

- Massen- und Flavour-Eigenzustände der Quarks stimmen nicht überein

$$\begin{pmatrix} |d'\rangle \\ |s'\rangle \\ |b'\rangle \end{pmatrix}_L = \begin{pmatrix} V_{ud} & V_{us} & V_{ub} \\ V_{cd} & V_{cs} & V_{cb} \\ V_{td} & V_{ts} & V_{tb} \end{pmatrix} \cdot \begin{pmatrix} |d\rangle \\ |s\rangle \\ |b\rangle \end{pmatrix}_L$$



Flavour-Eigenzustände

Massen-Eigenzustände

CKM muss **unitär** sein

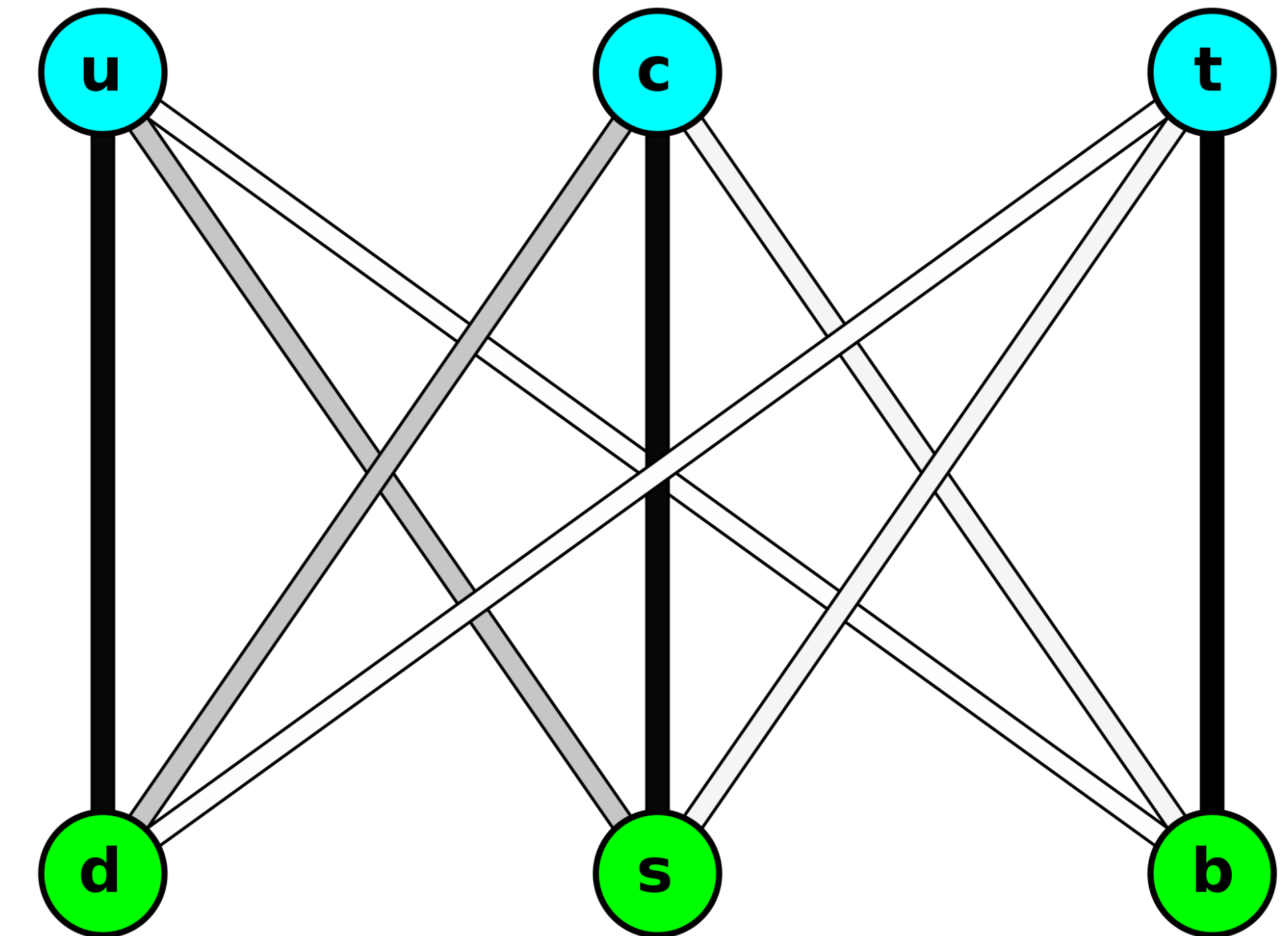
- 3 reelle (Euler) Winkel θ_{ij}
- 1 imaginäre CP-Phase δ

CKM-Mischungsmatrix

- **Stärke der Übergänge zwischen Familien**

- Übergänge bevorzugt in der gleichen Generation, aber auch Übergänge in die benachbarte, bzw. 1. & 3.

ausgeprägt
gering



- aktuelle Werte: $s_{13} \ll s_{23} \ll s_{12}$

$$\theta_{12} = (13,04 \pm 0,05)^\circ$$

$$\theta_{23} = (2,38 \pm 0,06)^\circ$$

$$\theta_{13} = (0,201 \pm 0,011)^\circ$$

Leptonische Mischungsmatrix

- Matrix 'entkoppelt' wie bei den Quarks in **3 separate Mischungsterme**

$$U = \begin{pmatrix} 1 & 0 & 0 \\ 0 & \cos\theta_{23} & \sin\theta_{23} \\ 0 & -\sin\theta_{23} & \cos\theta_{23} \end{pmatrix} \cdot \begin{pmatrix} \cos\theta_{13} & 0 & \sin\theta_{13}e^{-i\delta} \\ 0 & 1 & 0 \\ -\sin\theta_{13}e^{-i\delta} & 0 & \cos\theta_{13} \end{pmatrix} \cdot \begin{pmatrix} \cos\theta_{12} & \sin\theta_{12} & 0 \\ -\sin\theta_{12} & \cos\theta_{12} & 0 \\ 0 & 0 & 1 \end{pmatrix}$$


Mischung 2. & 3.
 ν -Generation
 ν_μ und ν_τ

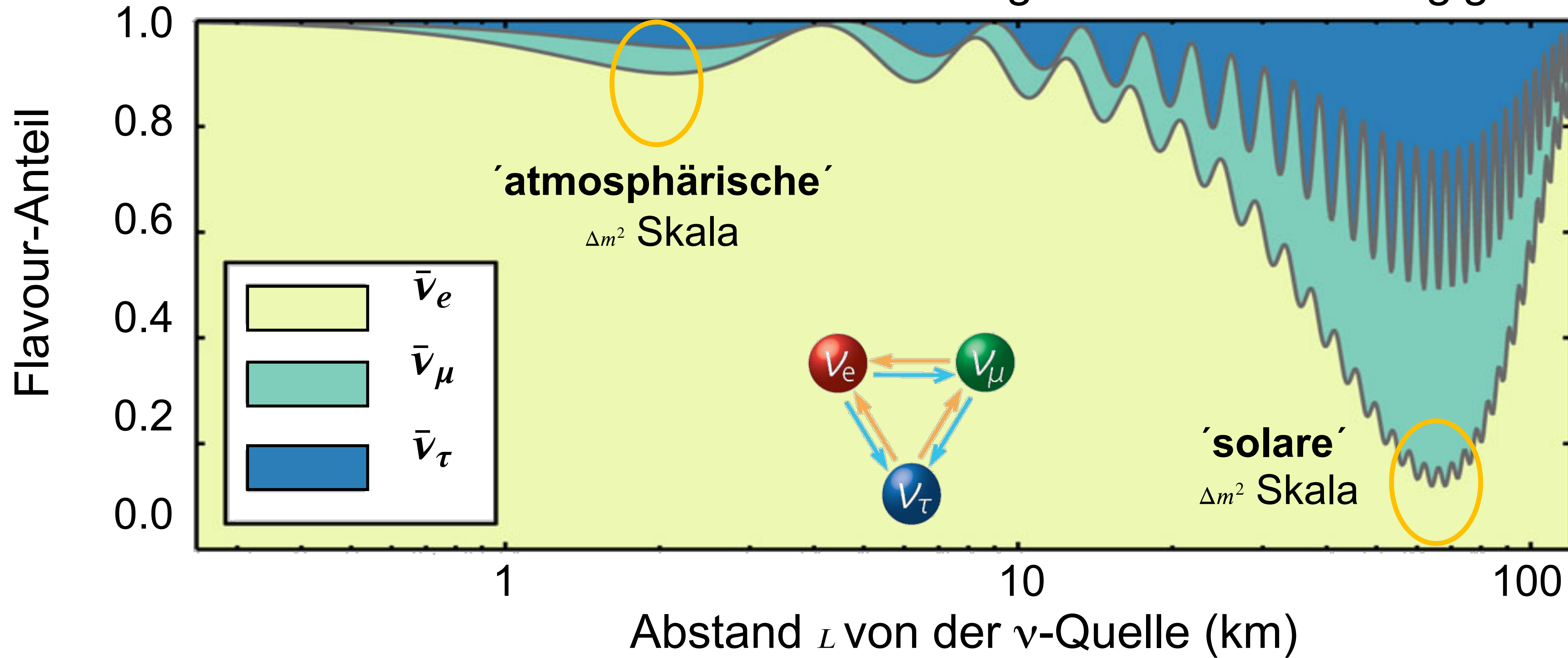
Mischung 1. & 3.
 ν -Generation
 ν_e und ν_τ

Mischung 1. & 2.
 ν -Generation
 ν_e und ν_μ

Neutrino-Oszillation: 3-Flavour-Mischungseffekte

- Entwicklung eines Strahls von $\bar{\nu}_e$ im MeV-Energiebereich

⇒ Zusammensetzung des Strahls abhängig von L

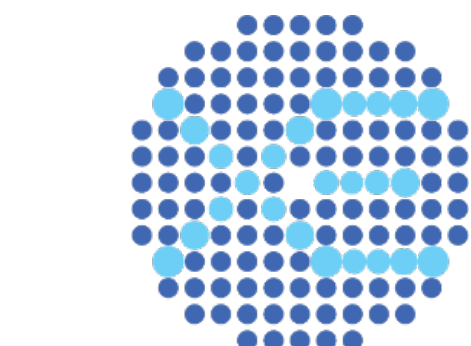


Katzenpause

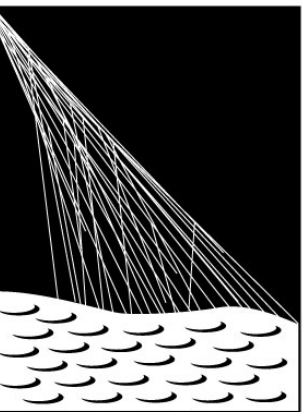




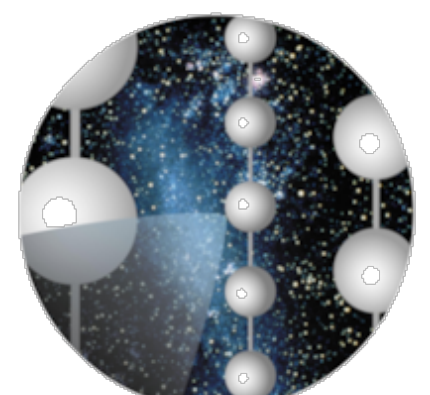
DARWIN



XENON



PIERRE
AUGER
OBSERVATORY

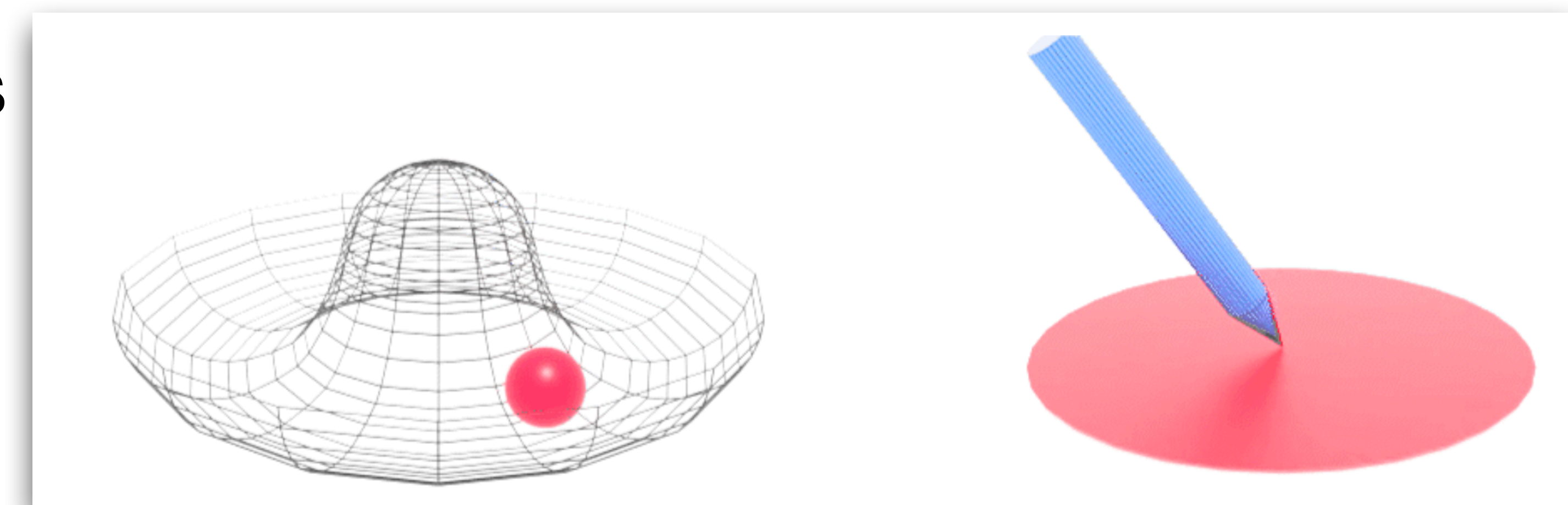


IceCube

KAPITEL 7.2 : QUERVERBINDUNGEN UND OFFENE FRAGESTELLUNGEN

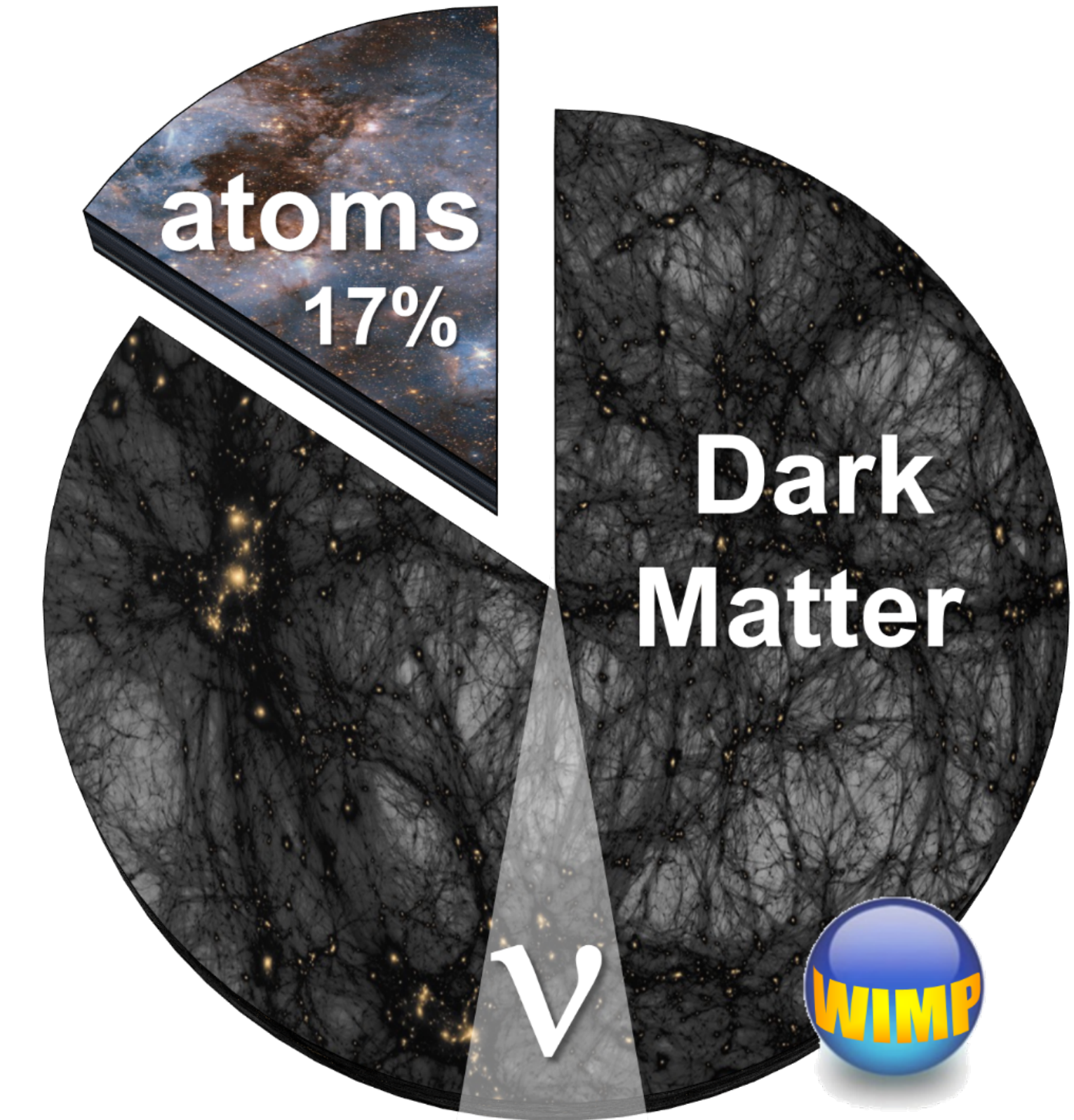
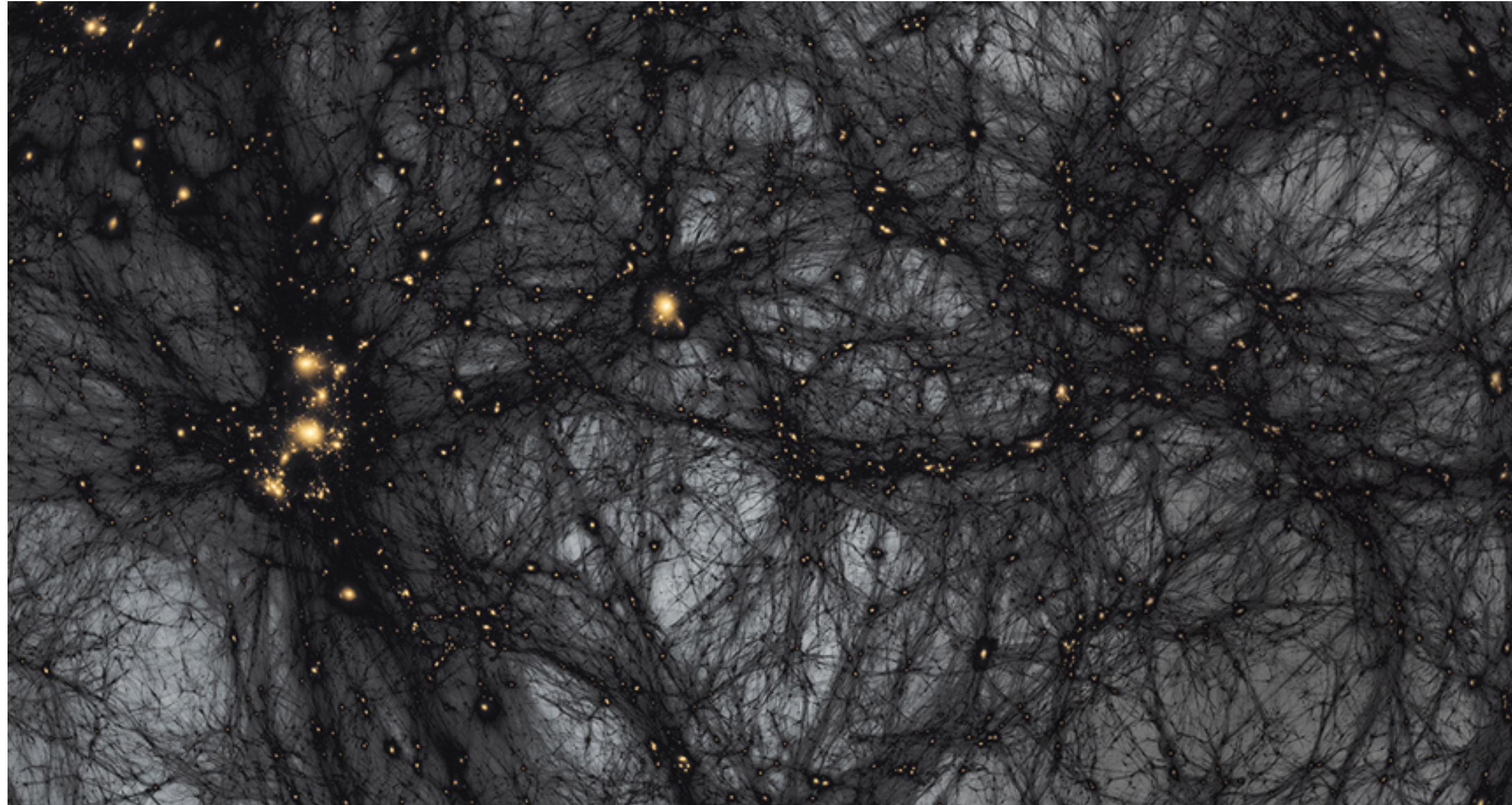
Offene Fragen der Teilchenphysik

- Was ist die Natur der dunklen Materie?
- Wie werden Neutrinos massiv?
- Warum gibt es so viel Materie?
- Wie können wir Quanteneffekte der Gravitation verstehen?
- Welche Rolle spielt das Higgs Boson in diesen Fragen?
- ...



Suche nach Dunkler Materie*

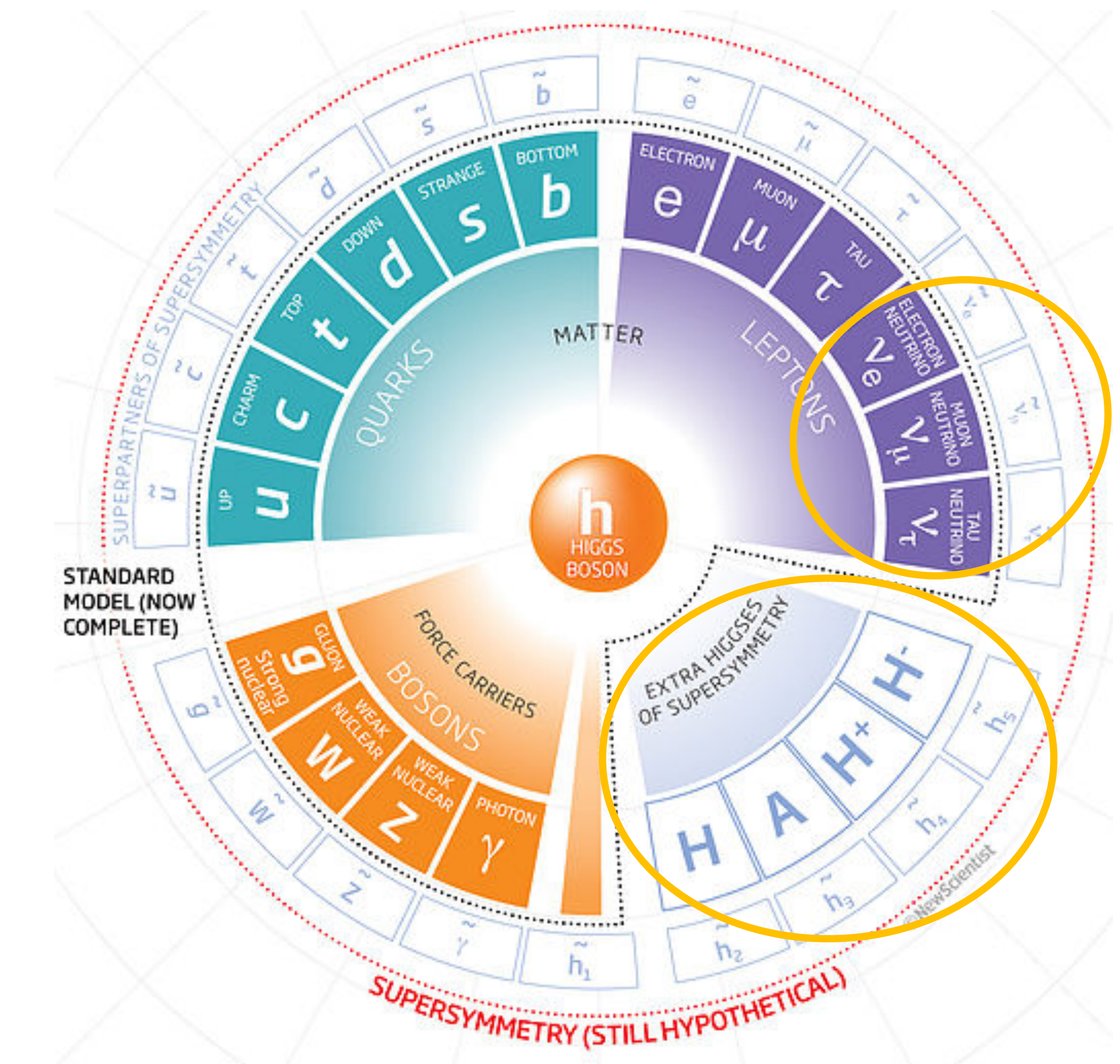
- **Astrophysikalische Beobachtungen: Dunkle Materie dominant**
 - Rotationskurven von Galaxien, Dynamik von Galaxienhaufen & Nachweis von Gravitationslinsen: Dunkle Materie bestimmt die Dynamik der Materie auf allen Skalen im Universum



Suche nach Dunkler Materie

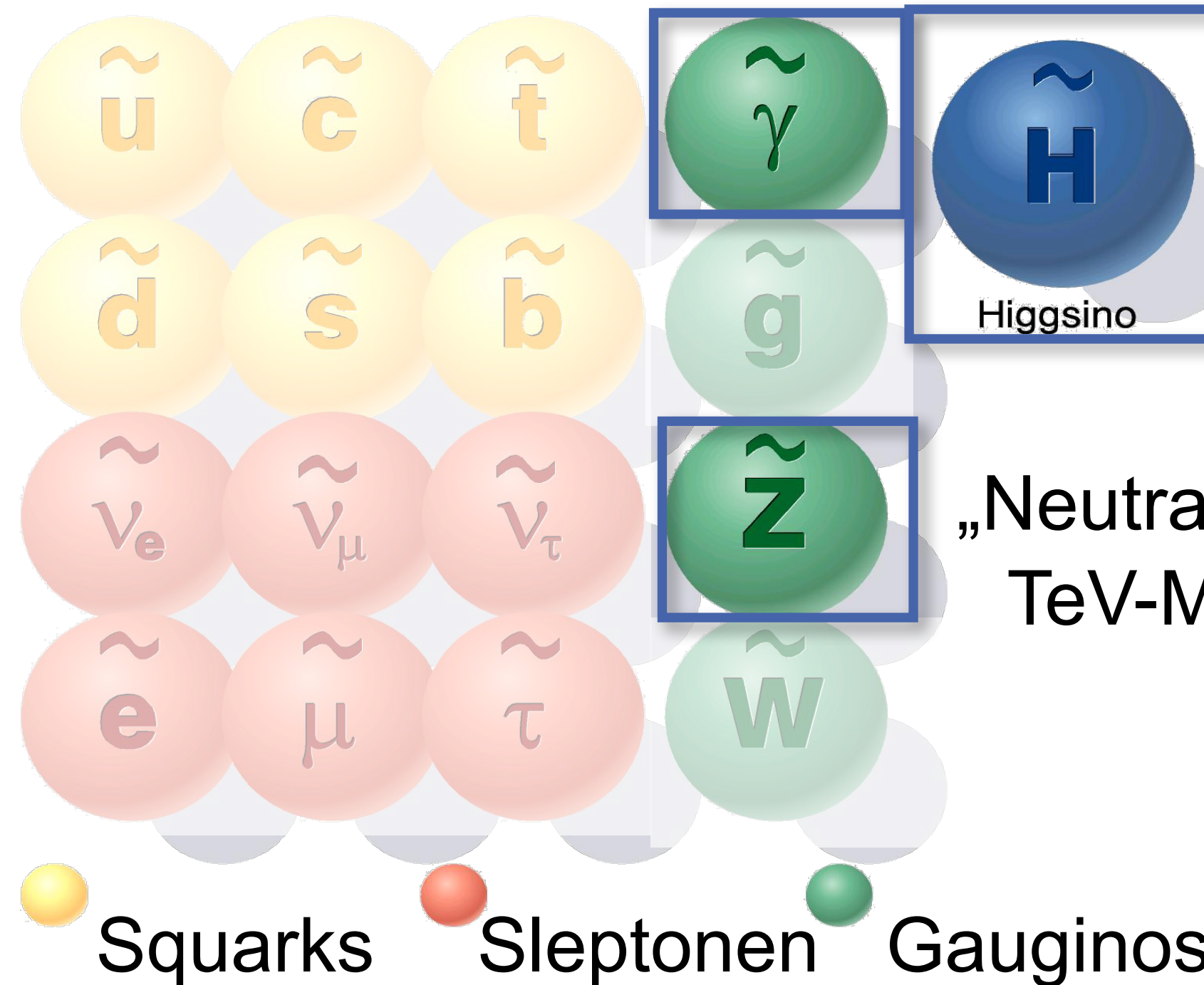
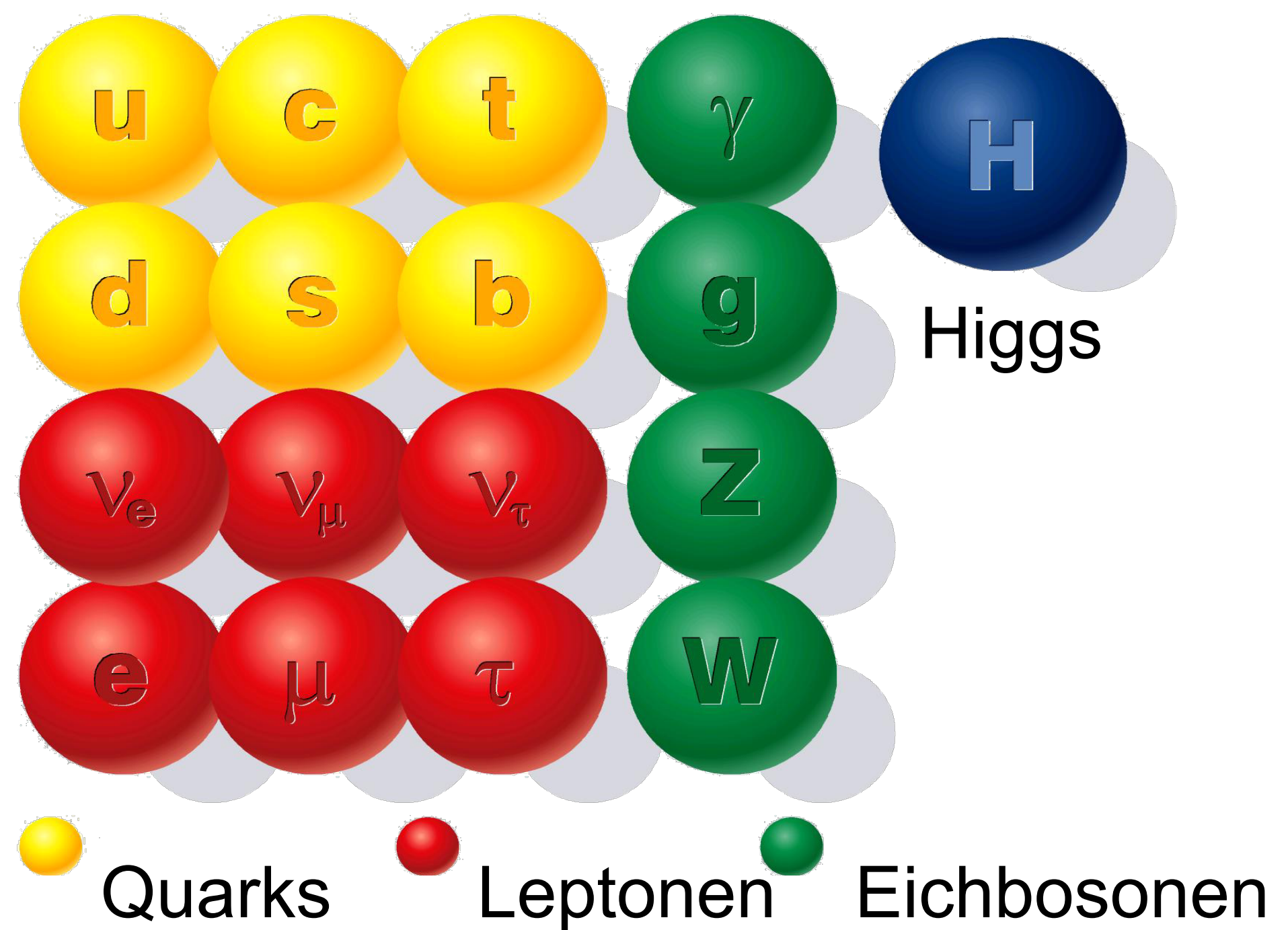
■ Teilchenphysikalischer Ursprung der Dunklen Materie?

- Standardmodell (SM) enthält **keinen Kandidaten für die Dunkle Materie (DM)**
- **Neutrinos $\nu_{e,\mu,\tau}$** : Masse ist extrem klein, daher **sub-dominanter Beitrag** zur DM
- **Neutrinos $\nu_{e,\mu,\tau}$** : ideale 'Blaupause' für DM-Teilchen: neutral, keine starke Ww., interagiert nur über schwache Ww.
- viele **Theorien jenseits des SM** mit Kandidaten für Dunkle Materie (existiert ein 'Dunkler Sektor'?)



Supersymmetrie – eine Theorie jenseits des SM

- SUSY enthält einen ‘idealen’ Kandidaten für Dunkle Materie: das WIMP
 - WIMP: Weakly Interacting Massive Particle auf der GeV/TeV-Skala
 - WIMP: Massenzustand, d.h. Mischung von $\tilde{\gamma}$, \tilde{Z} , \tilde{H}_u , \tilde{H}_d

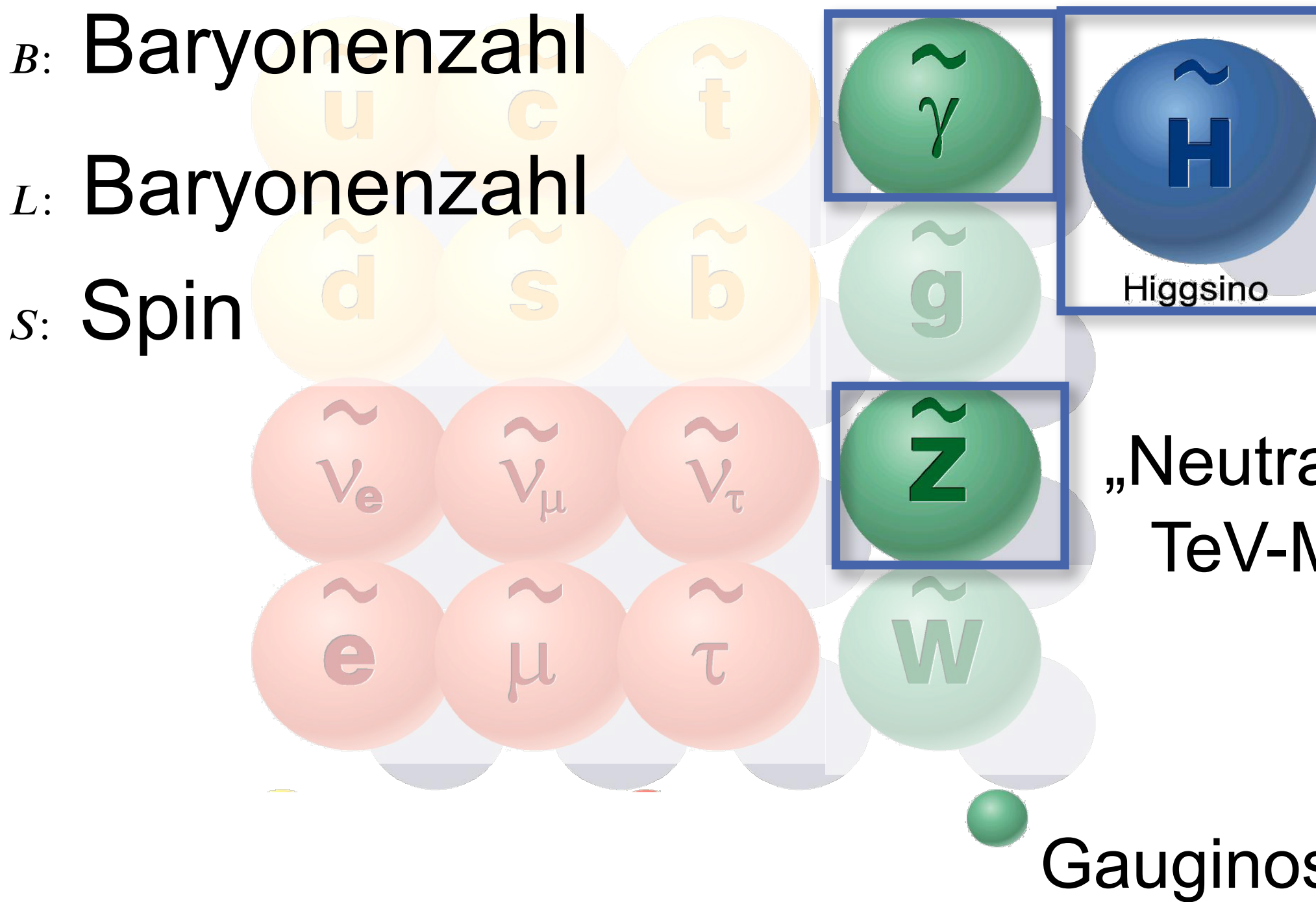
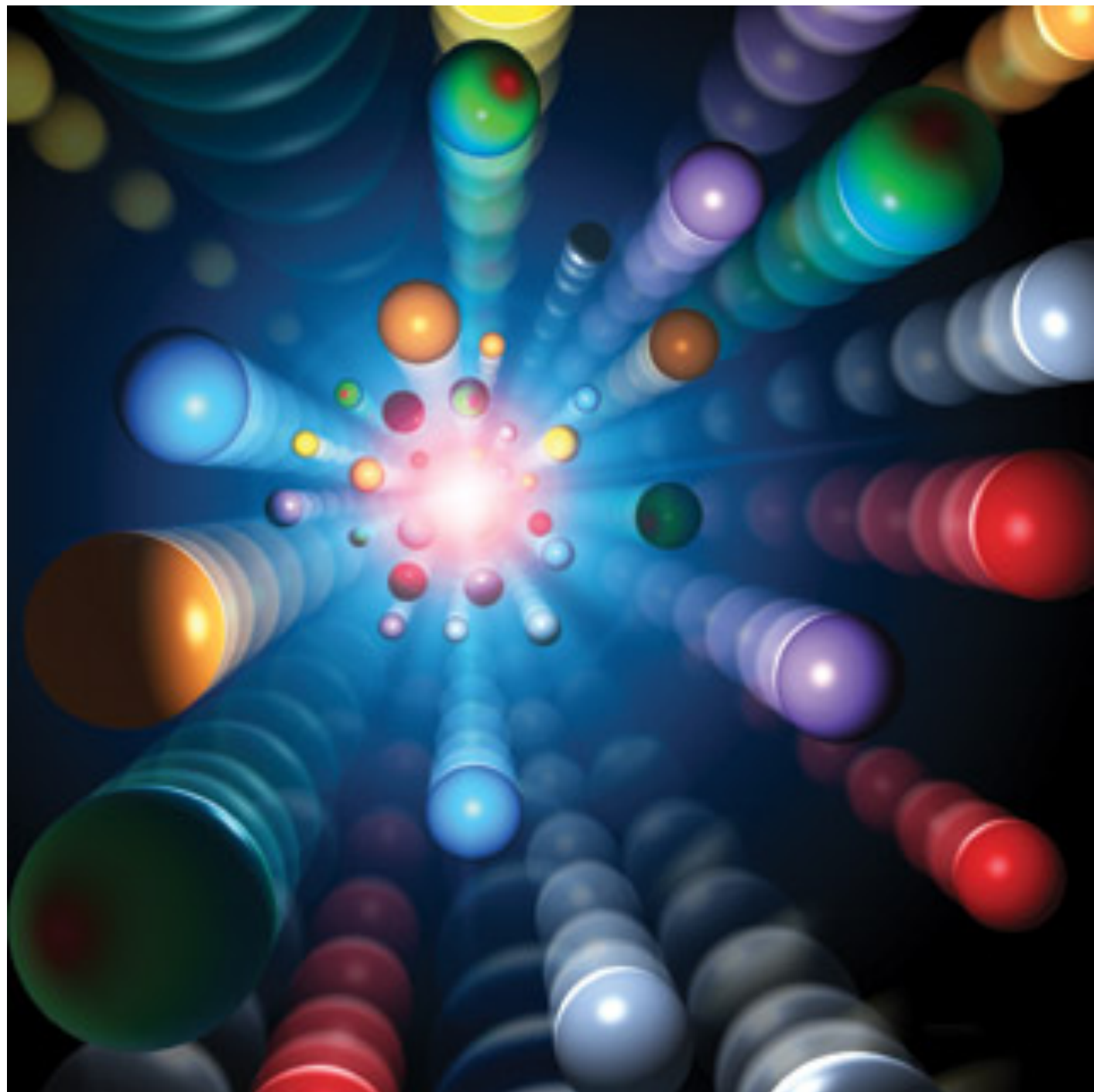


„Neutralino“ mit
TeV-Massen



Supersymmetrie – eine Theorie jenseits des SM

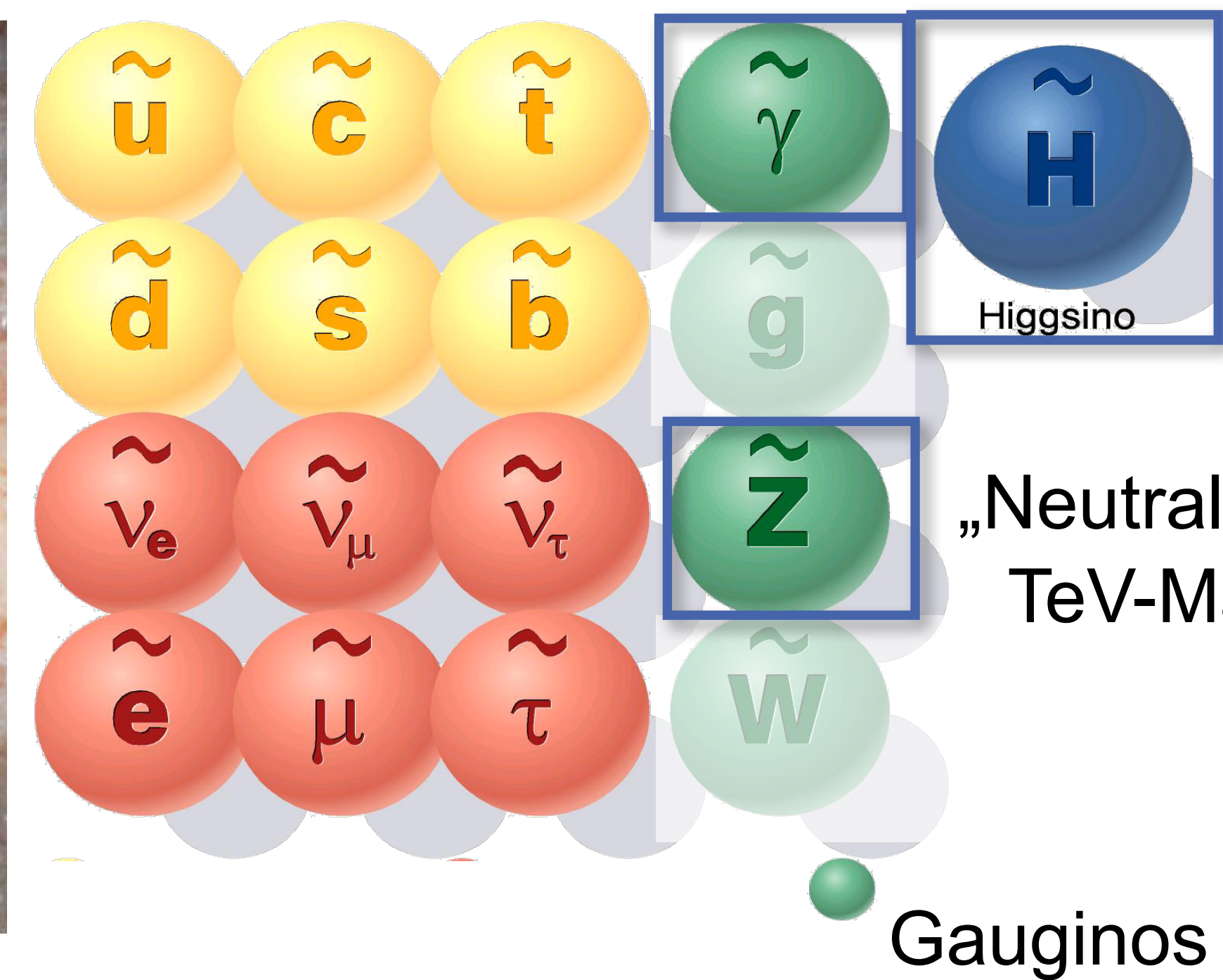
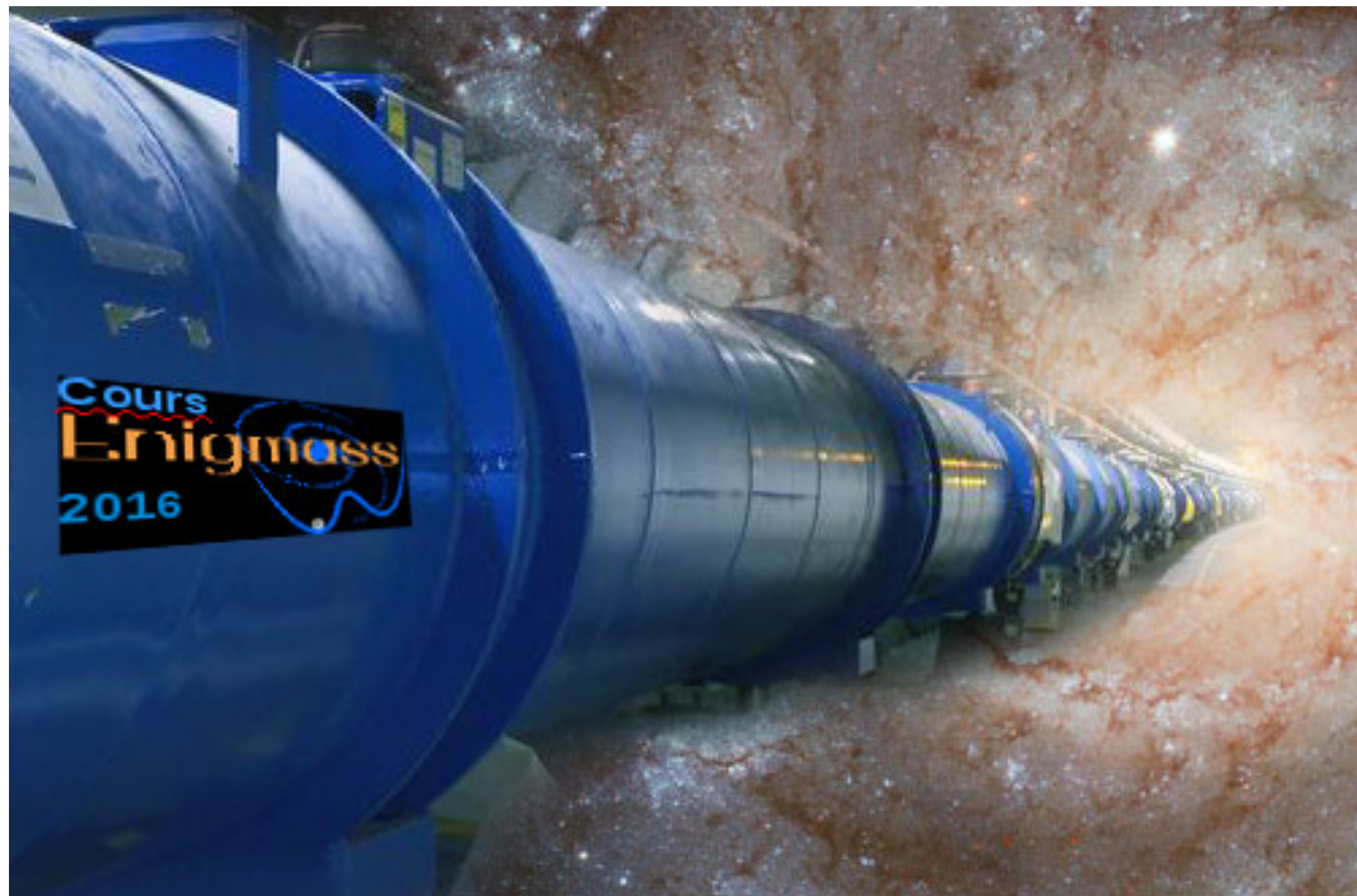
- das WIMP-'*miracle*': thermische Erzeugung von WIMPs im Big Bang*
 - WIMP: Erzeugung mit korrekter Dichte Ω_{DM} falls $\sigma = \text{schwache Ww.}$
 - WIMP: kosmologisch stabil durch $R_P = (-1)^{3 \cdot B + L + 2S}$



Supersymmetrie – eine Theorie wird getestet

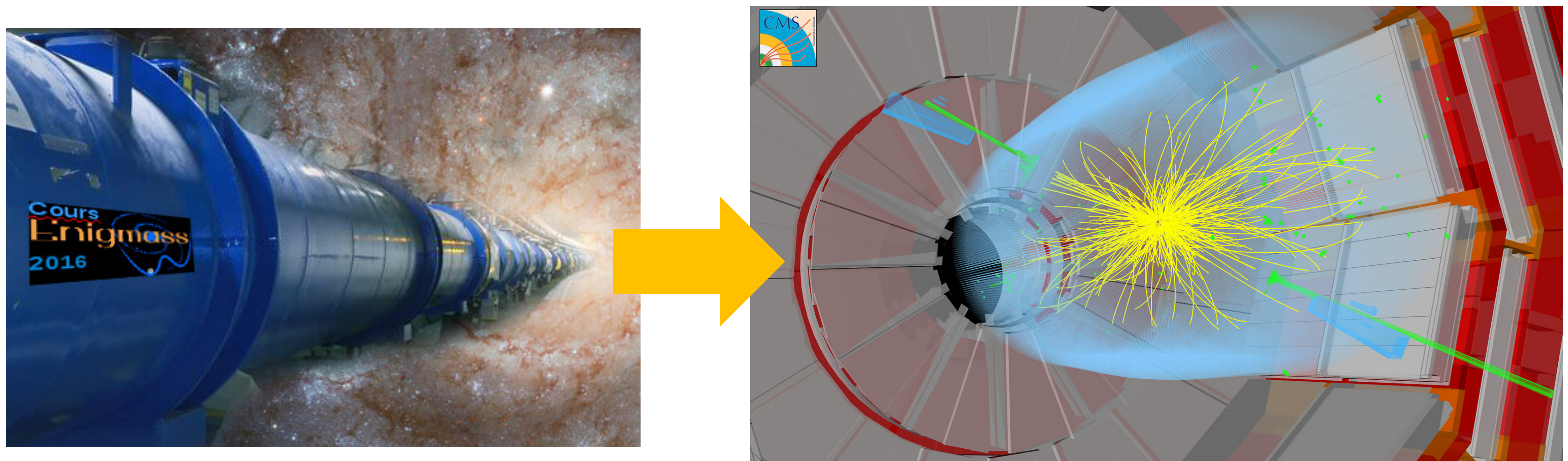
- das WIMP & SUSY auf dem Teststand des LHC

- Erzeugung von SUSY-Teilchenpaaren in pp -Kollisionen bei hohem \sqrt{s}
- WIMP: am Ende einer SUSY-Zerfallskette



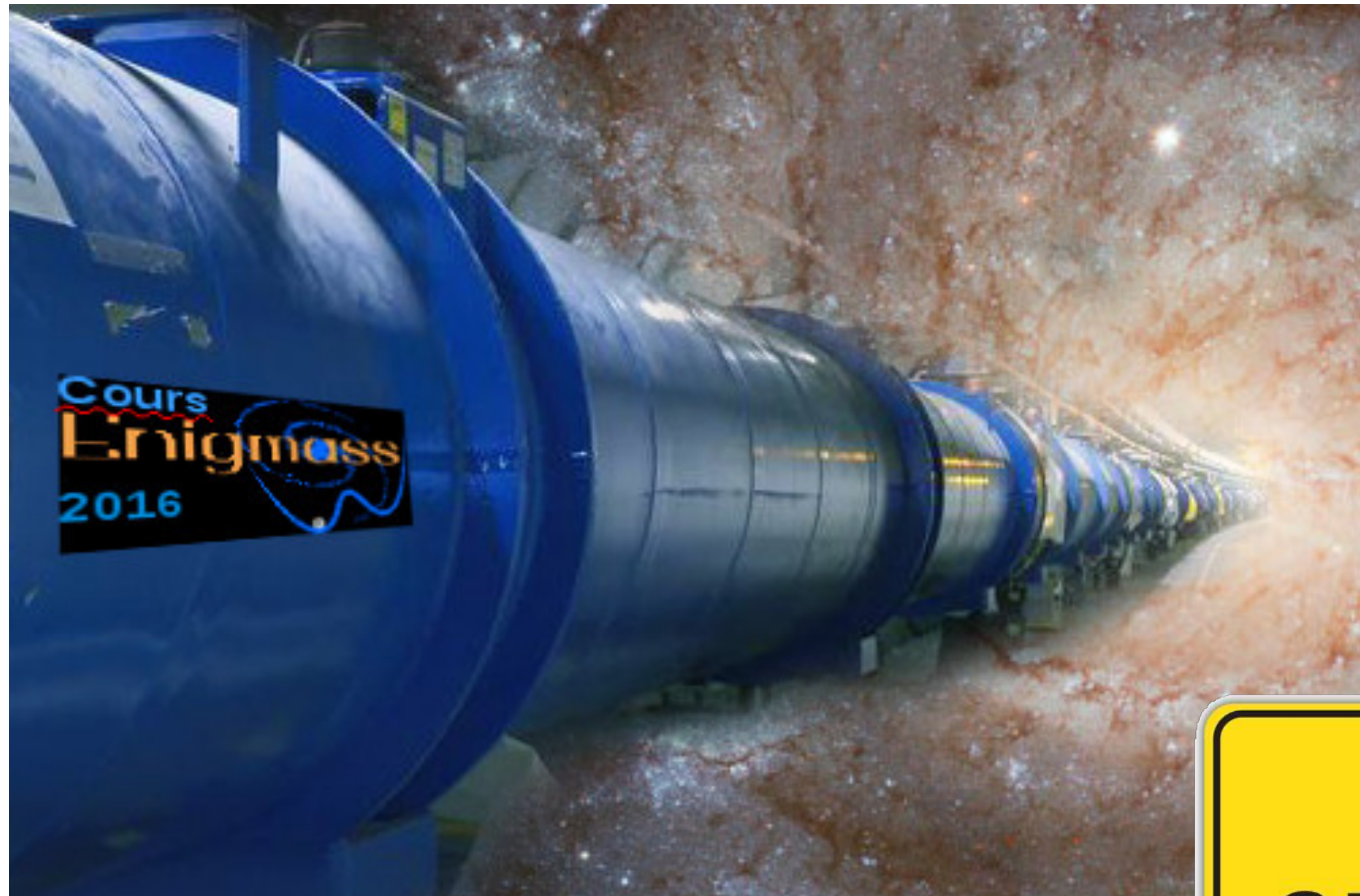
Supersymmetrie – eine Theorie wird getestet

- das WIMP & SUSY auf dem Teststand des LHC
 - Erzeugung von SUSY-Teilchenpaaren: extrem seltene Prozesse
 - WIMP: am Ende einer SUSY-Zerfallskette via fehlende Transversalenergie



Supersymmetrie – eine Theorie wird getestet

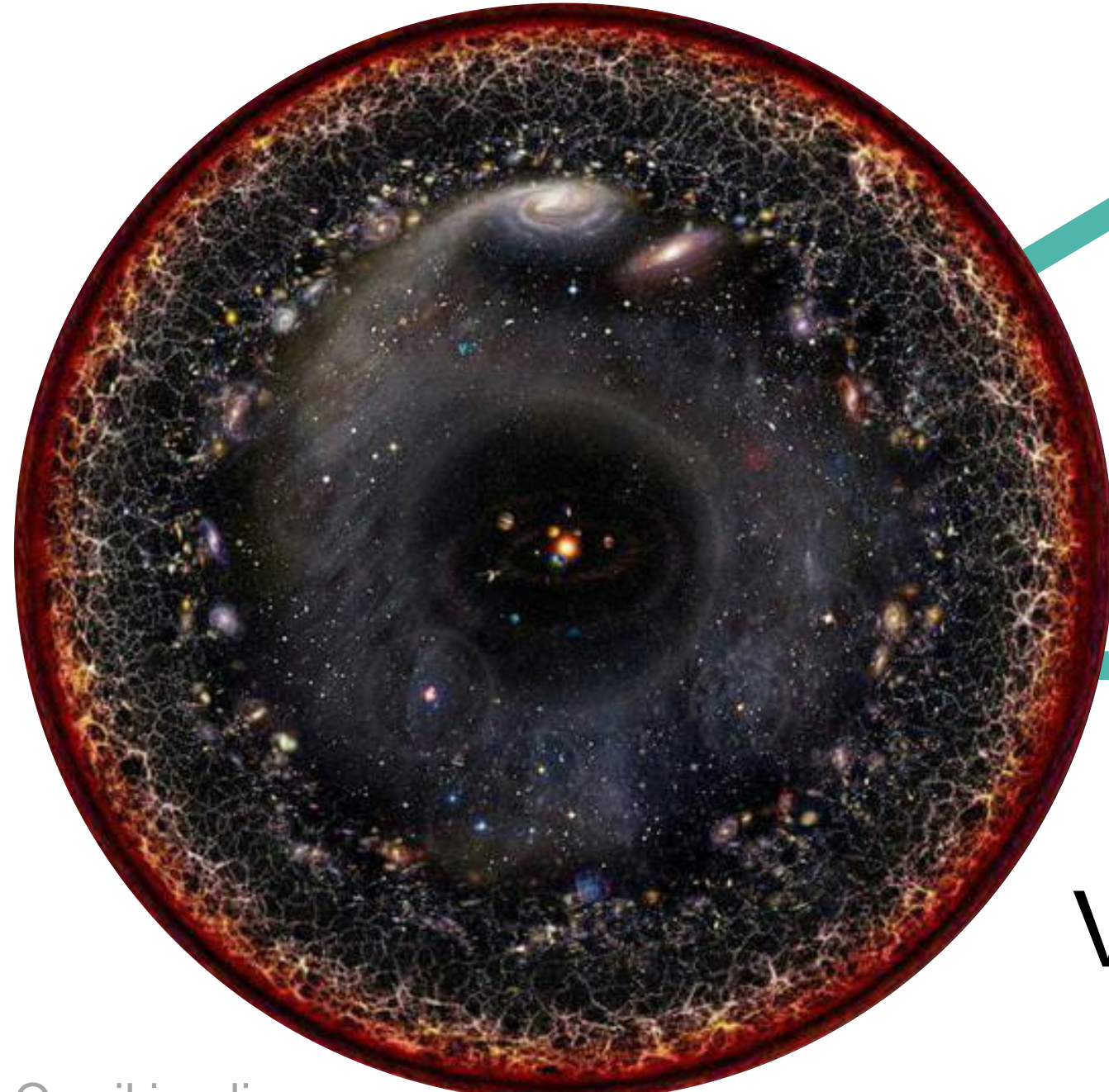
- das WIMP & SUSY auf dem Teststand des LHC
 - Erzeugung von SUSY-Teilchenpaaren: extrem selten
 - WIMP: am Ende einer SUSY-Zerfallskette



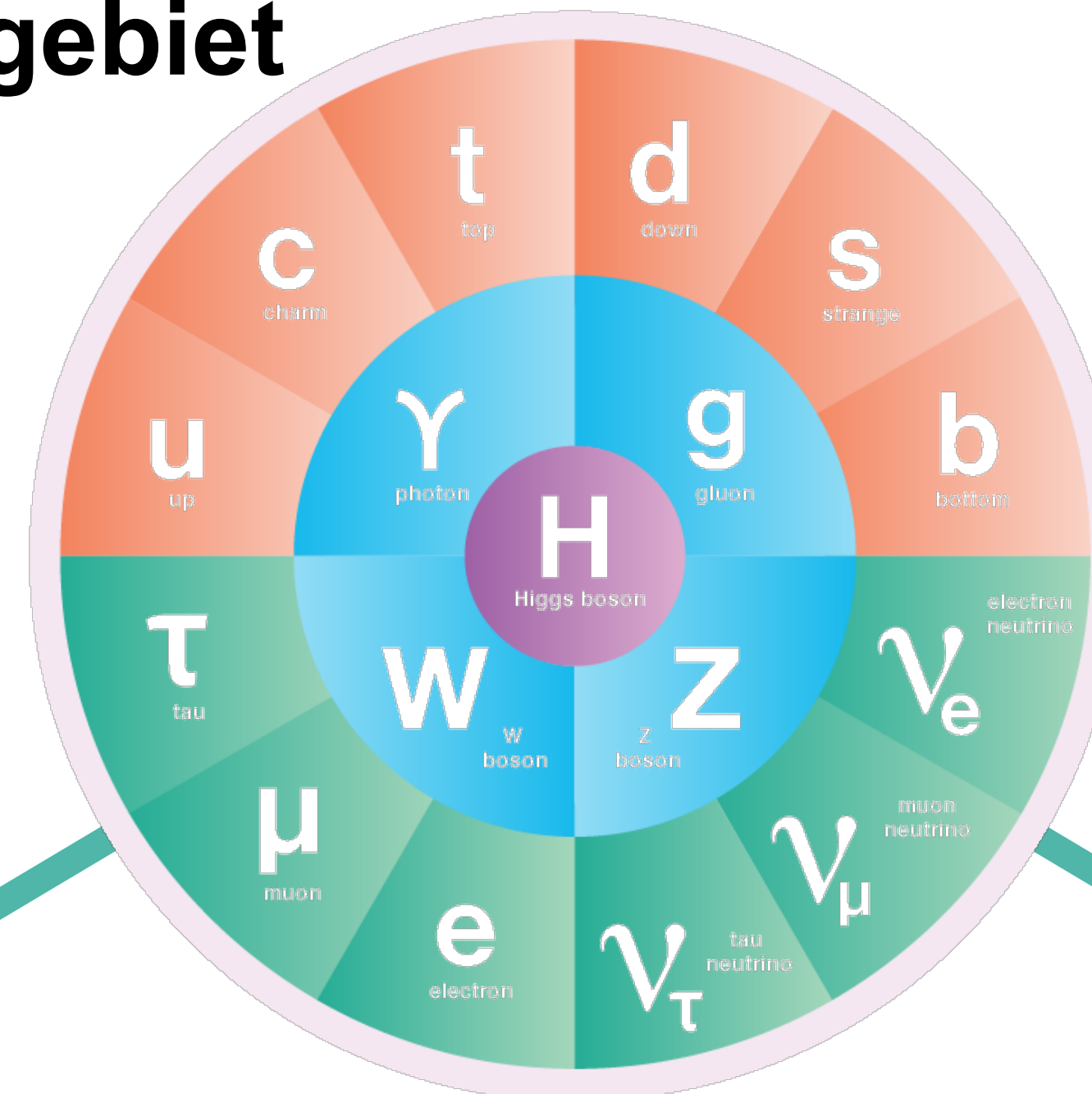
AstroTeilchenPhysik – Themengebiete

- ein spannendes Themengebiet

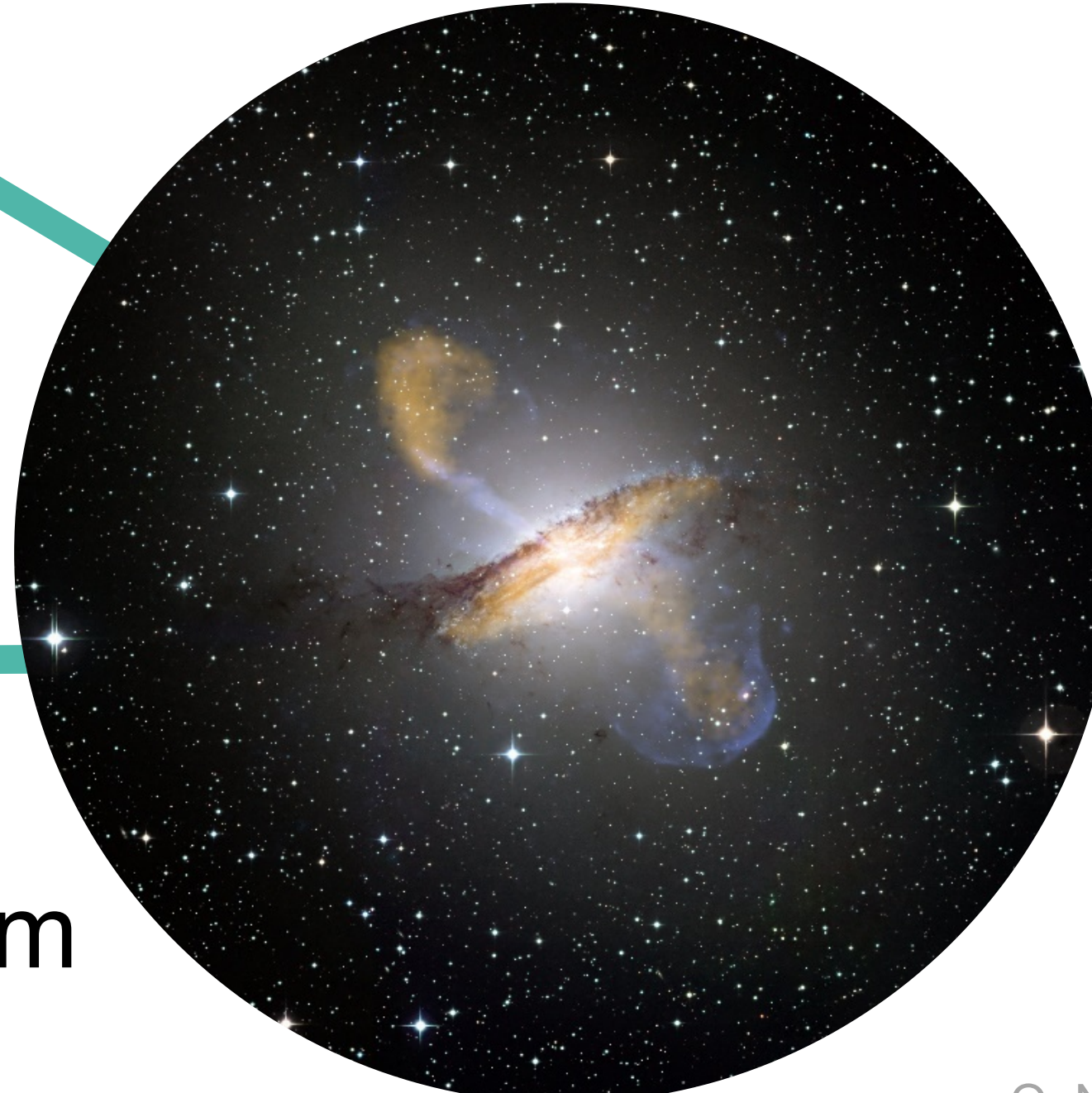
Kosmo-
logie



Teilchen-

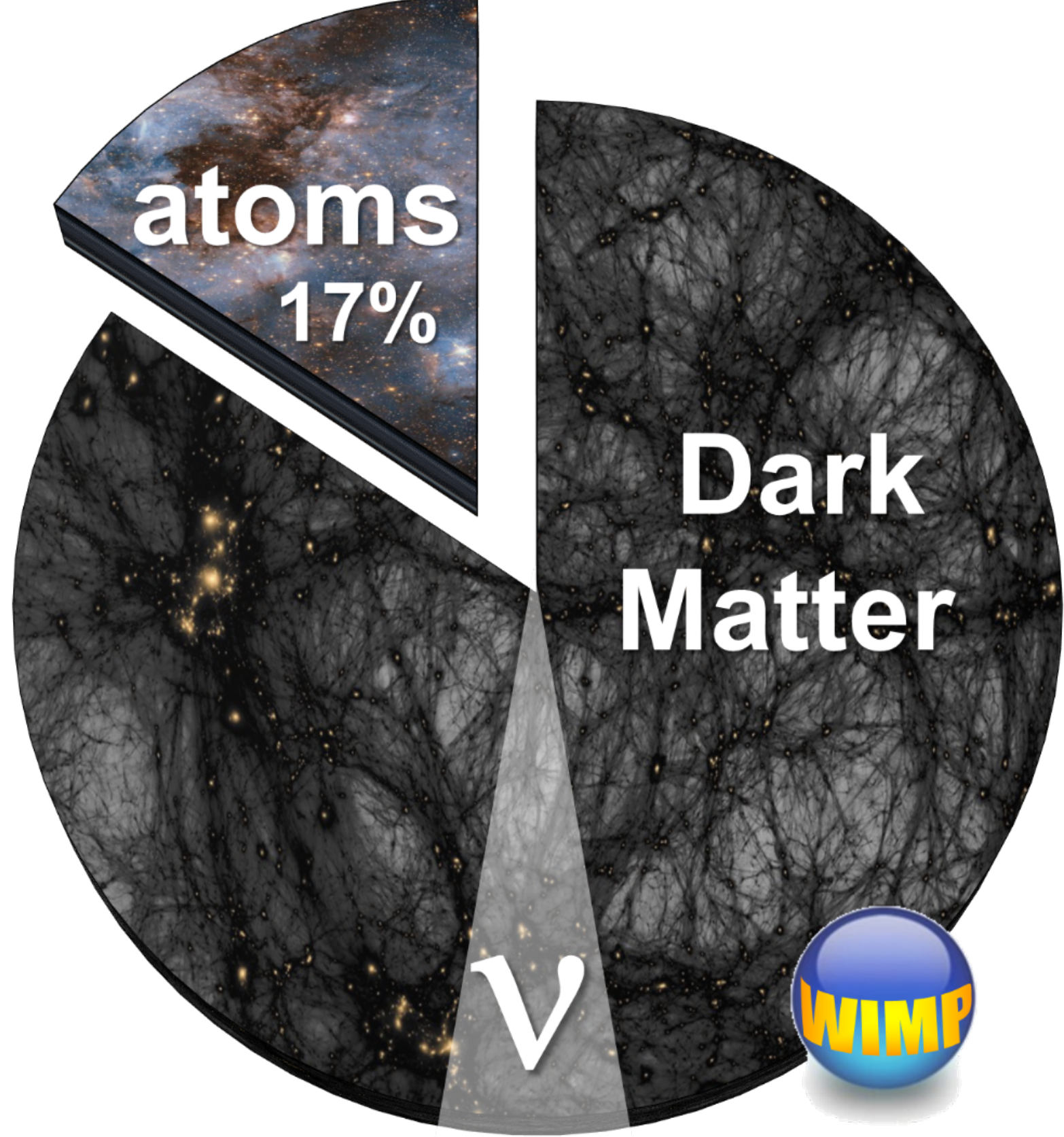


Verbindung zwischen dem
Mikro- & Makrokosmos



Astro-
physik

- Neutralinos (WIMPs) & Neutrinos aus dem Universum: Rolle & Eigenschaften



- Massive Neutralinos als **Kalte Dunkle Materie**
- massebehaftete Neutrinos als **Heiße Dunkle Materie**



Supernovae: ein faszinierendes Thema

■ Neutrinos als effektivste Sternkühlung im Universum



- Neutrinos lassen uns live ins 'Herz' einer Kernkollaps-Supernova blicken
- neue Detektoren (Hyper-Kamiokande) schauen über unsere Galaxis hinaus





Katzen



Bachelorstudium

- Moderne Physik III: Experimentelle Teilchenphysik
- Wahlpflichtvorlesung im Sommersemester
 - 2024: Torben FERBER, Kathrin VALERIUS, Markus KLUTE
 - In English
- Topics / Outline
 - Intro (1 lecture)
 - Collider Physics (7 lectures)
 - Dark Matter Detection (2 lectures)
 - Katrin Experiment and Neutrino Mass Measurement (3 lectures)
 - Conclusion (1 lecture)



- eine extrem forschungsstarke Fakultät: **Teilchen & Astroteilchenphysik**

Teilchenphysik

TP:

Teilchenphysik I

TP-II – Flavourphysik

TP-II – Top-Quarks/Jets

TP-II – W, Z, Higgs

TP-II – Beyond the SM

Datenanalyse

Detektoren

MC Generatoren

Hauptseminare

Astroteilchenphysik

ATP:

Astroteilchenphysik I

Kosmologie

ATP-II – Teilchen & Sterne

ATP-II – Gammas & Neutrinos

ATP-II – Kosmische Strahlung

Beschleunigerphysik

Detektoren

Messmethoden / Elektronik

Hauptseminare



**Modulhandbuch
Physik Master 2015 (Master of Science)**
SPO 2015
Sommersemester 2021
Stand 16.03.2021

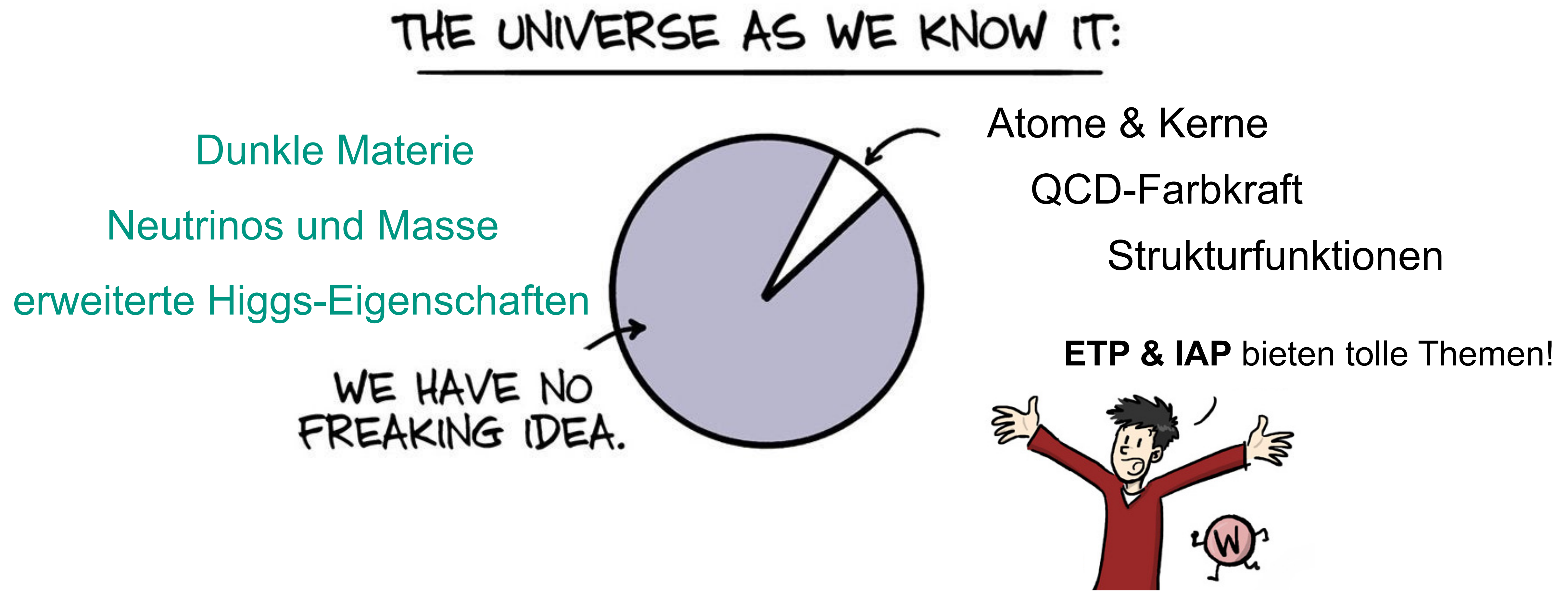
KIT-FAKULTÄT FÜR PHYSIK



KIT – Die Forschungsuniversität in der Helmholtz-Gemeinschaft

www.kit.edu

- Es gibt noch viel zu erforschen, nicht nur im Bachelor!

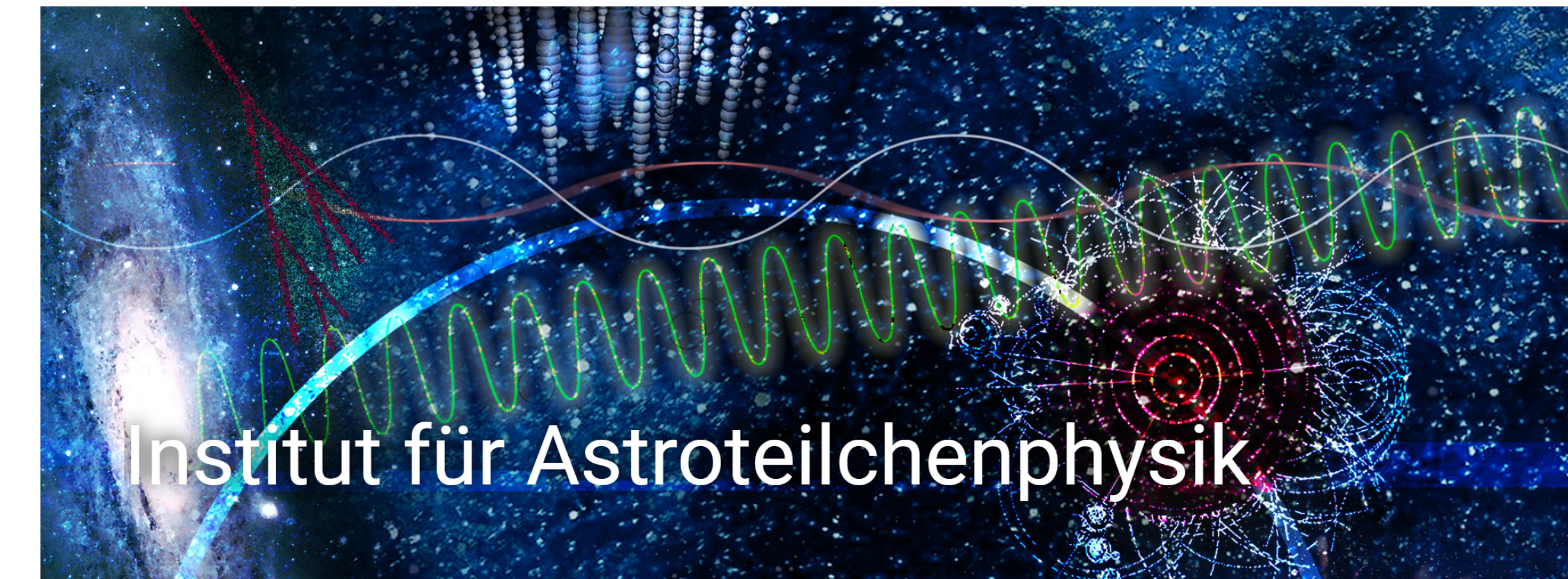


Teilchen- & Astroteilchenphysik: ein Ausblick

- **spannende Forschungsthemen, nicht nur im Bachelor!**
 - zwei forschungsstarke Institute am KIT mit einer gemeinsamen Motivation:
auf der Suche nach **neuen Phänomenen und Effekten jenseits des SM**

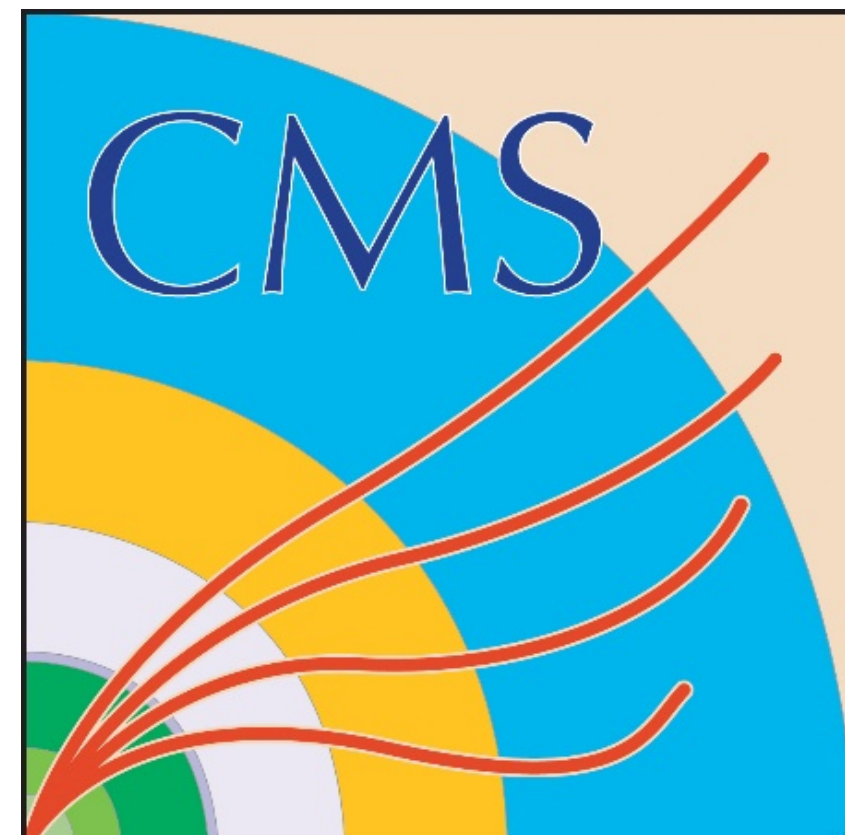


Institut für Experimentelle Teilchenphysik



Forschungsthema: Teilchenphysik am LHC

■ Hochenergiephysik mit dem CMS Experiment am Large Hadron Collider



Prof. Markus Klute



Prof. Ulrich Husemann



Prof. Günter Quast

...Datenanalyse/ Computing/ Detektor Entwicklung ...

Forschungsthema: Teilchenphysik an BELLE-II

- **Physik mit dem BELLE II Experiment am SuperKEKB Collider**



Prof. Torben Ferber

...Datenanalyse/ Flavorphysik/ DM-Suche...

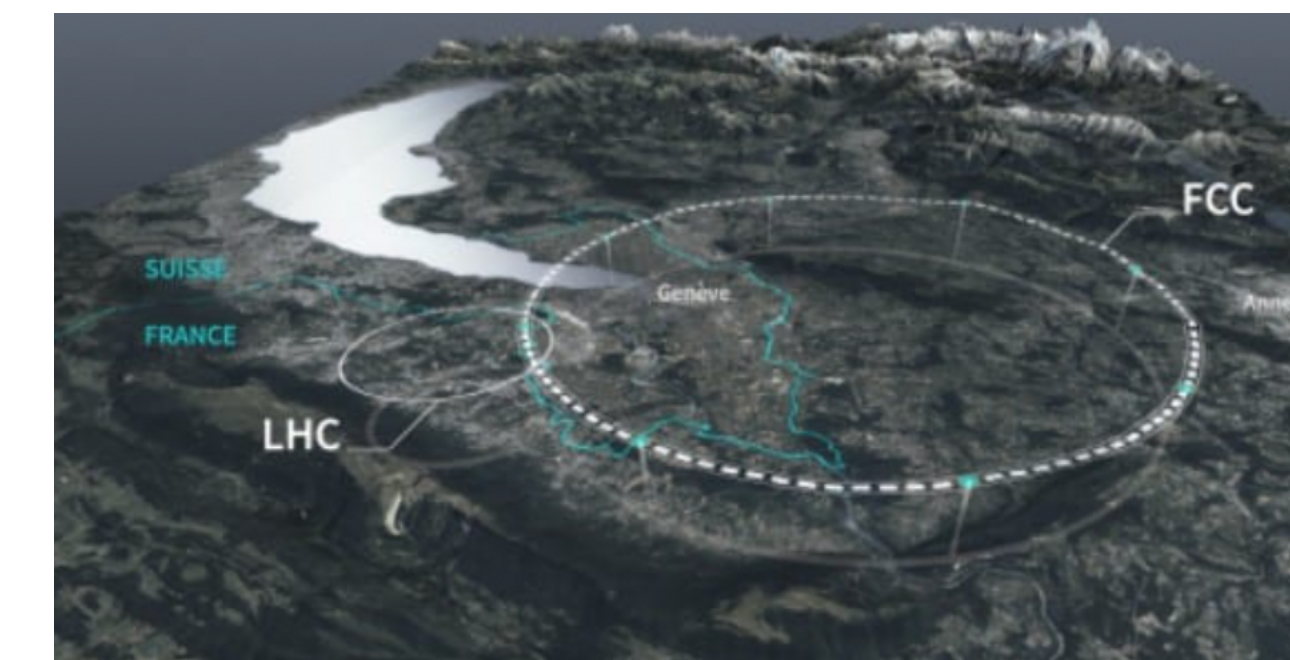
- FCC-ee, Beam Dump Experimente, Dark Matter Experimente



Prof. Torben Ferber



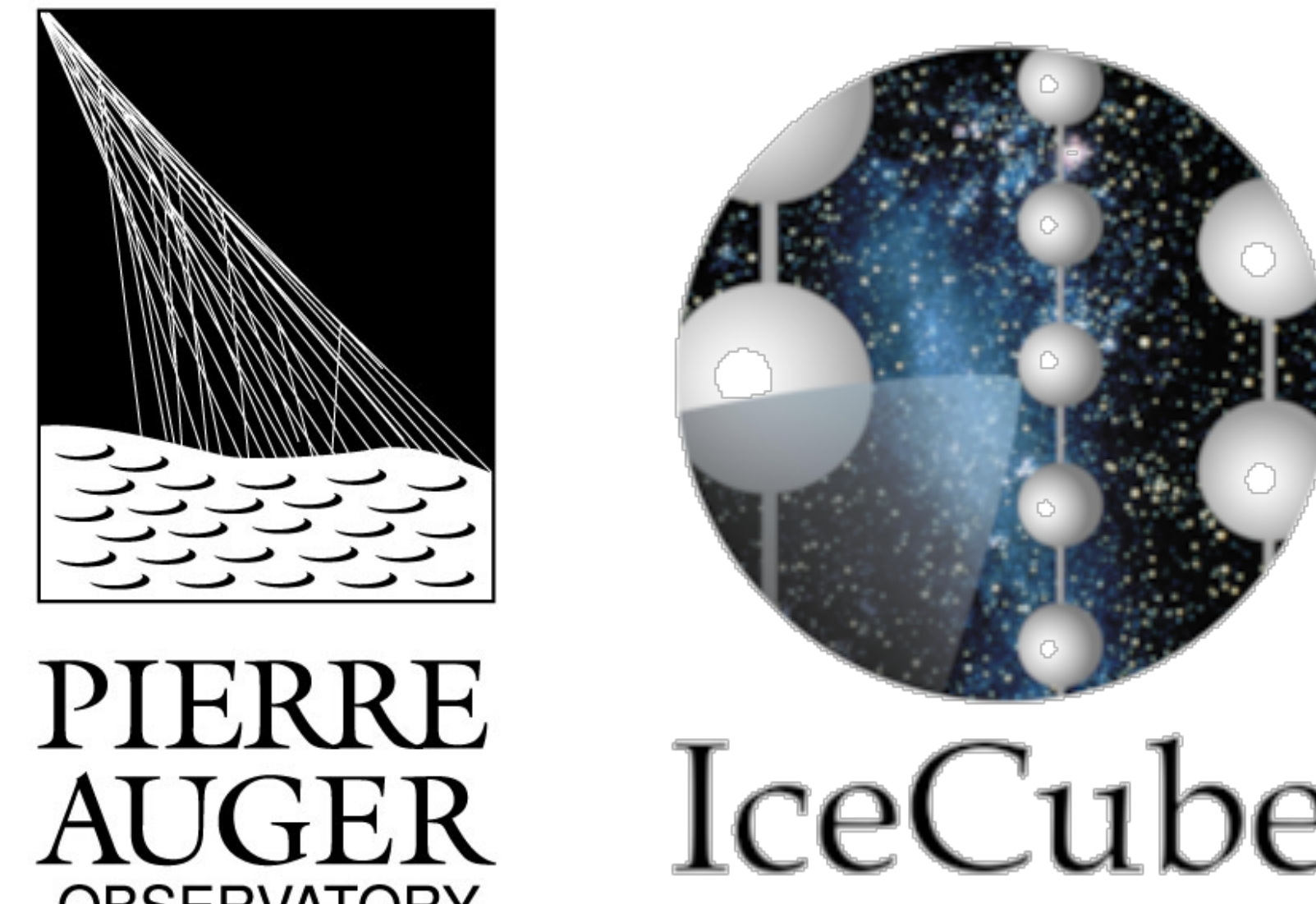
Prof. Markus Klute



...Datenanalyse / DM-Suche / Higgs Physik ...

Forschungsthema: Cosmic Rays & UHE Neutrinos

- **Astroteilchenphysik mit den Observatorien Pierre Auger & IceCube**



Prof. Ralph Engel

...Datenanalyse/ Cosmic Ray & UHE- ν -Physik/ Hardware...

Forschungsthema: Neutrinos & Dunkle Materie

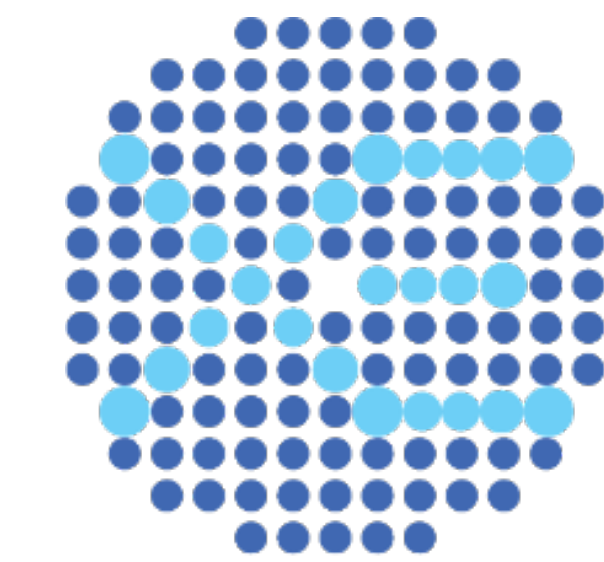
- Astroteilchenphysik mit den Observatorien Pierre Auger & IceCube



Prof. Guido Drexlin



DElight



XENON

DARWIN

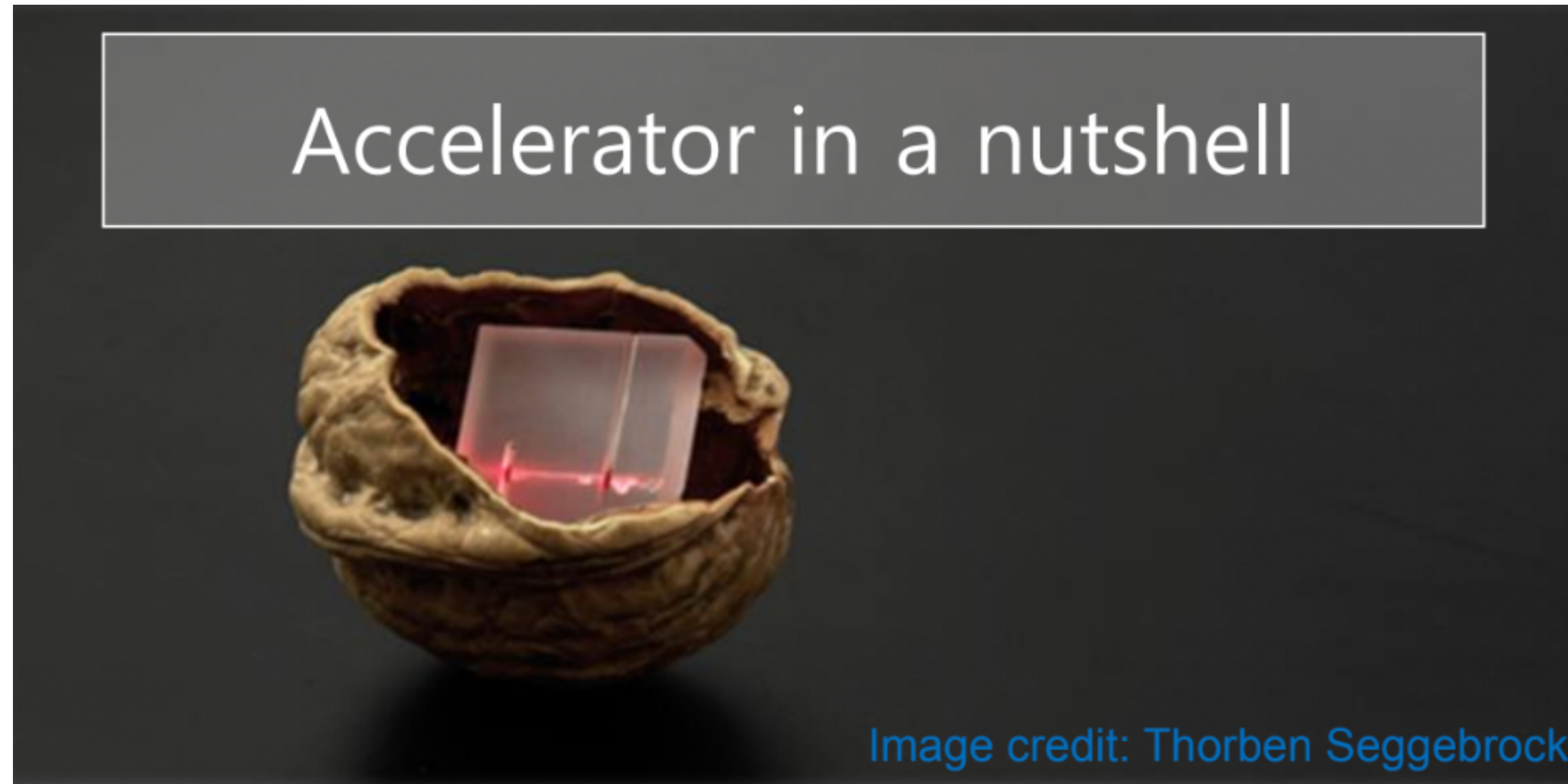


Prof. Kathrin Valerius

...Datenanalyse/ ν -Physik/ Suche nach DM/ Hardware/ FuE...

Forschungsthema: Technische Themen

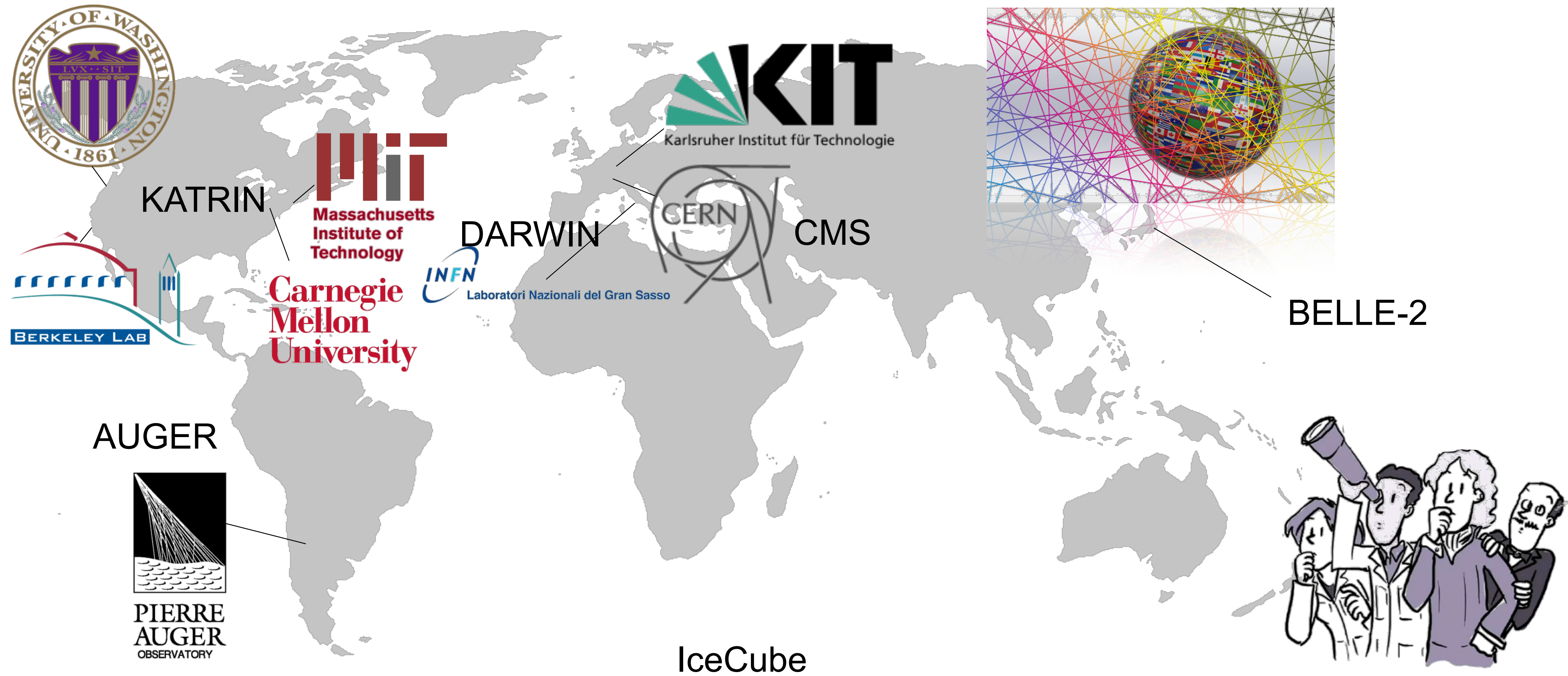
- Datenverarbeitung
- Quantensensoren
- Beschleuniger
- ...



Prof. Frank Simon
Prof. Sebastian Kempf
Prof. Anke Susanne Müller
Prof. Matthias Fuchs

Masterstudium & beyond: internationale Kontakte!

- Beyond KIT: wichtige Erfahrungen sammeln bei unseren weltweiten Partnern





- **von dieser Vorlesung ... auf zu einer erfolgreichen Karriere!!**



Danke für ihr Interesse & ihre Aufmerksamkeit !